

Hong Kong Exchanges and Clearing Limited et Stock Exchange of Hong Kong Limited n'assument aucune responsabilité quant au contenu de cette annonce, ne font aucune déclaration quant à son exactitude ou son exhaustivité et déclinent expressément toute responsabilité pour toute perte découlant de la totalité ou d'une partie du contenu de la présente annonce.



MMG LIMITED
五礦資源有限公司

(Constitué à Hong Kong avec responsabilité limitée)

(HKEX STOCK CODE : 1208)

(ASX STOCK CODE : MMG)

**RAPPORT DE PRODUCTION DU DEUXIÈME TRIMESTRE
POUR LES TROIS MOIS CLOTURÉS AU 30 JUIN 2019**

La présente annonce est faite conformément à la Règle 13.09 des Règles régissant la Cotation sur la Bourse de Hong Kong Limited (Règles de cotation) et aux dispositions relatives aux informations privilégiées (telles que définies dans les Règles de Cotation) de la Partie XIVA de la Securities and Futures Ordinance (Chapitre 571 de la Lois de Hong Kong).

Le conseil d'administration (le Conseil) de MMG Limited (la Société ou MMG) est heureux de présenter le rapport de production du deuxième trimestre pour le trimestre clôturé au 30 juin 2019.

Le rapport est annexé à la présente annonce.

Par ordre du Conseil d'Administration

MMG Limited

GAO Xiaoyu

PDG et Directeur Exécutif

Hong Kong, le 18 juillet 2019

A la date de cette annonce, le Conseil d'Administration est composé de neuf Administrateurs, dont deux Administrateurs Exécutifs, à savoir MM. Gao Xiaoyu et Xu Jiqing ; trois Administrateurs Non Exécutifs, à savoir MM. Guo Wenqing (Président), Zhang Shuqiang et Jiao Jian ; et quatre Administrateurs indépendants, à savoir Dr Peter William Cassidy, Leung Cheuk Yan, Mme Jennifer Anne Seabrook et Professeur Pei Ker Wei.

RAPPORT DE PRODUCTION DU DEUXIÈME TRIMESTRE

POUR LES TROIS MOIS CLOTURES AU 30 JUIN 2019

	2T19	2T19 VS 2T18	2T19 VS 1T19	YTD	YTD19 VS YTD18
Cathode de cuivre (tonnes)					
Kinsevere	16.463	-20%	31%	29.002	-28%
Total	16.463	-20%	31%	29.002	-28%
Cuivre (métal contenu dans les concentrés, tonnes)					
Las Bambas	84.373	-15%	-17%	185.825	0%
Rosebery	322	-10%	-15%	700	-8%
Total	84.695	-15%	-17%	186.525	0%
Zinc (métal contenu dans les concentrés, tonnes)					
Dugald River	35.850	-7%	-7%	74.515	11%
Rosebery	21.079	8%	14%	39.565	4%
Total	56.929	-2%	0%	114.080	8%
Plomb (métal contenu dans les concentrés, tonnes)					
Dugald River	5.563	24%	10%	10.639	80%
Rosebery	6.186	-27%	5%	12.096	-26%
Total	11.749	-9%	7%	22.735	2%
Molybdène (métal contenu dans les concentrés, tonnes)					
Las Bambas	563	32%	10%	1,075	13%
Total	563	32%	10%	1.075	13%

POINTS CLES

- Fréquence Totale des Blessures Enregistrables (TRIF) de 1,66 par million d'heures prestées pour le deuxième trimestre de 2019.
- Production totale de cuivre de 101.158 tonnes au deuxième trimestre, en baisse de 16 % en raison des perturbations logistiques annoncées précédemment à MMG Las Bambas. La production totale stable de zinc à 56.929 tonnes, ce qui correspond à la production des périodes précédentes, alors que la montée en puissance de Dugald River continue de bien progresser. Toutes les opérations sont sur la bonne voie pour atteindre les objectifs de production.
- L'exploration plus ciblée autour des centres d'exploitation existants connaît un succès considérable dès le début.

- Les forages de Las Bambas ont recoupé des minéralisations dans la région sud-ouest de Chalcobamba. D'autres forages devraient démontrer que la nouvelle zone Sud-Ouest de Chalcobamba, qui se trouve à moins de 300 mètres de la mine actuelle de la réserve de minerai de Chalcobamba, est dans la suite de la minéralisation principale de Chalcobamba et devrait motiver une expansion de la conception de la mine de Chalcobamba. Les faits saillants incluent 126,8m @ 1,39% Cu et 7ppm Mo, dont 48,8m @ 2,43% Cu, dans le trou de forage CHS19-012, à partir de 107,0m jusqu'au fond du trou.
- A Nambulwa (~30 km au Nord de MMG Kinsevere), les interprétations préliminaires des carottes de forage indiquent une probabilité raisonnable d'exploitation économique d'alimentation en minerai d'oxyde pour la mine de Kinsevere. Les meilleures intersections comprennent 14,4 m @ 6,96 % Cu à partir de 30 m (NAMDD042) et 54,0 m @ 4,10 % Cu à partir de 99 m (NAMDD060).

SÉCURITÉ, SANTÉ, ENVIRONNEMENT ET COMMUNAUTÉ

La Fréquence Totale des Blessures Enregistrables (TRIF) du deuxième trimestre 2019 était de 1,66 par million d'heures prestées.

La Fréquence Totale des Blessures Enregistrables (TRIF) déclarée au premier trimestre était de 1,33 par million d'heures prestées. Ce chiffre a maintenant été révisé à 1,53 en raison d'une modification des heures de travail déclarées pour les activités contrôlées.

En Mars et Avril, des barrages routiers communautaires ont limité la logistique d'arrivée et de départ à la mine de Las Bambas. Voir la section Las Bambas de ce rapport pour plus de détails.

MMG a publié son Rapport sur le Développement Durable de l'année 2018 le 20 juin 2019.

PRIX DES PRODUITS MARCHANDS, COMMERCIALISATION ET VENTES

PRIX DES PRODUITS MARCHANDS, COMMERCIALISATION ET VENTES

	MOYENNE TRIMESTRIELLE			CLOTURE DU TRIMESTRE		
	2T19	1T19	2T18	2T19	1T19	2T18
Prix de métaux*						
Cuivre (US\$/lb)	2,77	2,82	3,12	2,71	2,94	3,01
Or (US\$/oz)	1.310	1.304	1.307	1.411	1.293	1.251
Plomb (US\$/lb)	0,86	0,92	1,08	0,87	0,92	1,10
Molybdène (US\$/lb)	12,19	11,79	11,65	12,00	12,13	10,60
Argent (US\$/oz)	14,89	15,57	16,53	15,22	15,10	16,03
Zinc (US\$/lb)	1,25	1,23	1,41	1,17	1,36	1,34

Sources : zinc, plomb et cuivre : Prix de règlement au comptant à la LME ; Molybdène : platine ; or et argent : LBMA

Les prix des métaux de base ont chuté au cours du deuxième trimestre, principalement en raison du différend commercial entre les États-Unis et la Chine. Les préoccupations des marchés concernant les questions géopolitiques et commerciales plus larges ont donc éclipsé les fondamentaux positifs à moyen terme pour les métaux tels que le cuivre. La remontée du prix de l'or, qui a atteint un sommet sur plusieurs années en juin, a reflété des préoccupations similaires de la part des investisseurs.

La Chine a continué de construire de nouvelles installations de fonte de cuivre et a mis en service plusieurs installations au cours du premier semestre 2019 en prévision de l'augmentation continue de ses besoins en cuivre dans des secteurs clés de l'économie, dont le transport de l'électricité, la construction de bâtiments, les produits de consommation et les transports. Toutefois, il est peu probable que l'offre mondiale de concentrés de cuivre

augmente cette année, car la capacité des nouvelles mines est limitée alors que la production de certaines opérations existantes diminuera. Il en résultera que la production minière limitera la croissance de la production de métaux affinés. Ce déséquilibre s'est traduit par une baisse constante des frais de traitement et d'affinage depuis le début de l'année 2019, les frais payés par les fonderies sur le marché au comptant ayant récemment chuté à plus de 25 % sous le niveau de référence de l'année.

Certaines fonderies de zinc Chinoises qui avaient été contraintes de réduire leur production tout en effectuant des investissements pour améliorer leur performance environnementale ont été en mesure d'accroître leur production au cours du deuxième trimestre, ce qui a accru la demande en concentré de zinc. Il en a résulté un plafonnement des frais de traitement des concentrés de zinc, qui étaient en hausse constante par rapport aux trimestres précédents. Malgré l'augmentation de la production des fonderies Chinoises, les stocks de métaux en Chine et à la LME restent faibles, à environ cinq jours de la consommation mondiale.

PRIX PROVISOIRE

Le tableau suivant présente un résumé du métal qui a été vendu, mais dont le prix demeure provisoire à la fin du deuxième trimestre 2019 et le mois au cours duquel le prix moyen final devrait être fixé au moment de la facturation provisoire.

PRIX D'OUVERTURE AU 1ER JUILLET 2019					
	JUL-19	AOU-19	SEP-19	OCT-19	TOTAL
Cuivre (tonnes de cathode et cuivre contenu dans les concentrés)	11.233	7.407	36.356	29.587	84.583
Or (onces)	12.310	867	907		14.084
Plomb (tonnes)	4.522				4.522
Molybdène (livres)	454.766	295.204			749.970
Argent (onces)	918.755	62.687	49.792		1.031.234
Zinc (tonnes)	19.686	13.035	4.279		37.000

OPERATIONS

LAS BAMBAS

	LAS BAMBAS				
	2T19	2T19 VS 2T18	2T19 VS 1T19	YTD	YTD19 VS YTD18
Cuivre (tonnes)	84.373	-15%	-17%	185.825	0%
Molybdène (tonnes)	563	32%	10%	1.075	13%

Las Bambas a produit 84.373 tonnes de cuivre sous forme de concentrés de cuivre au deuxième trimestre de 2019, soit 17 % de moins qu'au trimestre précédent. La production plus faible est le résultat d'un arrêt forcé de l'usine au début du mois d'avril 2019, en raison des barrages routiers communautaires annoncés précédemment qui ont eu lieu du début de février à la mi-avril et qui ont entraîné l'épuisement des réserves essentielles sur site. Les activités de maintenance planifiée ont été reportées afin d'atténuer en partie l'incidence de ces perturbations.

Après ces perturbations, l'accès routier sans restriction a été rétabli le 13 Avril 2019 et l'extraction et la logistique des concentrés sont revenues à des niveaux opérationnels normaux.

Informations sur la logistique

Depuis la reprise des opérations de logistique le 13 avril, Las Bambas a réduit ses remblais sur site d'un pic d'environ 59.000 tonnes de cuivre sous forme de concentrés à environ 33.000 tonnes au 30 juin 2019. Le reste de ces remblais devrait être progressivement réduit et expédié au cours du second semestre de 2019.

Les barrages routiers communautaires étaient relatifs aux demandes d'indemnisation pour des terres traversées par une route publique et la libération de dirigeants communautaires et de conseillers juridiques arrêtés à la suite d'allégations d'extorsion. Des accords visant à mettre fin à tous les barrages routiers ont été conclus à la suite d'un dialogue négocié par le Gouvernement Péruvien avec la participation de l'Église Catholique. L'entreprise demeure déterminée à collaborer avec le Gouvernement Péruvien et les communautés pour résoudre les préoccupations de la communauté par le dialogue. Ce processus de dialogue se poursuit.

Informations et perspectives de la production

Les mesures d'efficacité ont continué de donner des résultats positifs au cours du trimestre, le rendement des usines en mai et en juin ayant augmenté en moyenne d'environ 5 % par rapport à la période correspondante de l'exercice précédent. Les travaux d'extraction et de développement ont également continué d'augmenter pour ouvrir d'autres fronts d'extraction, conformément au plan de la mine.

La production de molybdène a augmenté de 10 % au cours du trimestre (en dépit d'une baisse générale du débit et de la production de cuivre) pour atteindre des niveaux record. Les travaux d'ingénierie visant à décongestionner l'usine de molybdène se poursuivent et devraient permettre d'augmenter la production de concentrés de molybdène à la capacité nominale de 15.000 tonnes par an, d'ici la mi-2020.

Conformément aux prévisions antérieures, la production de cuivre pour 2019 devrait toujours se situer à l'extrémité inférieure de la plage de 385.000 à 405.000 tonnes, les coûts C1 se situant à l'extrémité supérieure de la plage de 1,15 à 1,25 \$ US/lb. Tel qu'il a été mentionné précédemment, par rapport aux exercices précédents, les coûts reflètent des augmentations importantes des volumes d'extraction et de concentration, des investissements accrus dans l'aménagement de la mine et des distances de transport plus longues à mesure que la profondeur de la mine Ferrobamba augmente. Ces pressions sur les coûts seront partiellement compensées par des programmes continus d'amélioration des coûts et de l'efficacité. Ces programmes visent à faire en sorte que Las Bambas demeure l'une des mines les moins coûteuses de son envergure dans le monde.

Les travaux d'installation du troisième broyeur à boulets ont commencé au cours du trimestre et les travaux de forage, d'émission de permis et d'ingénierie se sont poursuivis sur le projet de Chalcobamba. Les résultats des activités de forage sont inclus dans la section Géosciences et Découvertes ci-dessous, où le forage a recoupé d'autres minéralisations de skarn et de cuivre porphyrique près de la surface dans la zone Sud-Ouest de Chalcobamba. On s'attend à ce que d'autres forages démontrent que la nouvelle zone Sud-Ouest de Chalcobamba est continue avec la minéralisation principale de Chalcobamba et devrait entraîner l'expansion de la conception de la mine de Chalcobamba.

DUGALD RIVER

	DUGALD RIVER				
	2T19	2T19 VS 2T18	2T19 VS 1T19	YTD	YTD19 VS YTD18
Métal contenu dans le concentré					
Zinc (tonnes)	35.850	-7%	-7%	74.515	11%
Plomb (tonnes)	5.563	24%	10%	10.639	80%

Dugald River a poursuivi sa forte montée en puissance, produisant 35.850 tonnes de zinc sous forme de concentrés de zinc pour le deuxième trimestre de l'année 2019 (7 % de moins que le premier trimestre). La baisse de la production est principalement attribuable à un arrêt planifié des activités pour raison de maintenance, qui s'est échelonné sur 11 jours au cours du trimestre.

Les travaux de développement de la mine ont continué d'ouvrir un nombre moyen plus élevé de gradins opérationnels, ce qui a entraîné une augmentation de 15 % du minerai extrait par rapport au premier trimestre. L'amélioration de la production minière a permis de maintenir le rendement de l'usine à un niveau supérieur à sa capacité nominale pour le cinquième trimestre consécutif. Les travaux de développement de la mine continueront d'être une priorité pour le reste de l'année 2019 afin d'assurer une alimentation stable à l'usine car tous les remblais de minerai préalable à la mise en service sont maintenant épuisés.

Dugald River a également produit 5.563 tonnes de concentré de plomb, soit 10 % de plus qu'au trimestre précédent. La voie ferrée reliant le mont Isa à Townsville, qui a été touchée par l'inondation de Février 2019, a été remise en état et le transport des concentrés est maintenant pleinement opérationnel.

Conformément aux prévisions antérieures, la production de Dugald River en 2019 devrait se situer entre 165.000 et 175.000 tonnes de zinc sous forme de concentrés de zinc, les coûts C1 variant entre 0,70 et 0,75 \$US/lb.

KINSEVERE

	KINSEVERE				
	2T19	2T19 VS 2T18	2T19 VS 1T19	YTD	YTD19 VS YTD18
Cathode de cuivre (tonnes)	16,463	-20%	31%	29,002	-28%

Kinsevere a produit 16.463 tonnes de cathodes de cuivre au deuxième trimestre de 2019, soit une augmentation de 31 % et conforme au plan révisé, à la suite de problèmes d'extraction minière et de stabilité de l'usine qui ont eu une incidence sur le premier trimestre.

Le total des mouvements de matériaux a augmenté de 34 % par rapport au premier trimestre, des progrès importants ayant été réalisés dans la gestion des conditions hydrologiques et de la géologie plus complexe rencontrée dans la mine Mashi. À l'avenir, la principale mine Centrale fournira la majeure partie du minerai extrait, ce qui, avec la récupération des remblais à long terme et des minerais provenant de tiers, servira de base à l'alimentation de l'usine pendant le reste de la durée de vie de la mine d'oxyde.

Le rendement de l'usine s'est également amélioré de 16 %, les problèmes ayant eu une incidence sur la disponibilité de l'usine et l'instabilité du traitement au cours du premier trimestre ayant été corrigés avec succès.

Conformément aux prévisions précédentes, la production de cathodes de cuivre devrait se situer entre 65.000 et 70.000 tonnes. Les coûts C1 pour 2019 devraient maintenant se situer dans la plage de 2,15 à 2,25 \$US/lb en raison de coûts d'extraction et des contractants plus élevés que prévu au cours du deuxième semestre.

Au cours du trimestre, Kinsevere a continué de s'approvisionner en minerai dans les gisements voisins de Kalumines et de Kimpe, ce qui témoigne de la souplesse opérationnelle de Kinsevere en tant que centre de traitement.

Les réserves de minerai d'oxyde de Kinsevere (au 30 juin 2018) représentent la durée de vie de la mine pour les opérations d'oxyde se terminant vers 2023. MMG travaille à développer le plein potentiel de la mine Kinsevere en effectuant des investissements importants dans le forage d'expansion des ressources, en particulier dans les concessions situées dans un rayon de 50 kilomètres de la mine Kinsevere, ainsi qu'à évaluer les options d'extraction et de traitement des minerais sulfurés présents dans la concession Kinsevere. De plus amples détails sur certains des premiers succès de ce programme d'exploration, en particulier en ce qui concerne le gisement voisin de Nambulwa, sont fournis dans la section Géoscience et Découverte ci-dessous.

Fin 2017, MMG a commencé l'Etude du Projet d'Expansion de Kinsevere. Cette étude évalue actuellement les options techniques pour l'ajout d'un circuit de traitement du minerai sulfuré en plus du circuit d'oxyde existant, ainsi que l'ajout d'un circuit de cobalt. L'expansion des opérations existantes de la mine de Kinsevere pourrait permettre de plus que doubler la durée de vie restante de la mine et de créer une entrée pour MMG sur le marché du cobalt.

Les dernières informations sur le statut des modifications apportées au Code minier en 2018 ainsi que des commentaires sur les résultats récemment annoncés des élections en République Démocratique du Congo (RDC) sont

	ROSEBERY				
	2T19	2T19 VS 2T18	2T19 VS 1T19	YTD	YTD19 VS YTD18
Métal contenu sous forme de concentré					
Zinc (tonnes)	21.079	8%	14%	39.565	4%
Plomb (tonnes)	6.186	-27%	5%	12.096	-26%
Cuivre (tonnes)	322	-10%	-15%	700	-8%

présentés dans la section Dernières Nouvelles sur la Société ci-dessous.

ROSEBERY

Rosebery a produit 21.079 tonnes de zinc sous forme de concentrés de zinc au cours du deuxième trimestre, en hausse de 14% par rapport au trimestre précédent.

Les performances solides et constantes de la mine et de l'usine de concentration se sont poursuivies, les volumes d'extraction et de broyage s'établissant à environ un million de tonnes sur une base annualisée. La performance opérationnelle est soutenue par l'investissement récent dans une nouvelle flotte d'engins mobiles, qui permet d'accroître la productivité et d'améliorer considérablement la disponibilité des équipements, ce qui permet de compenser l'impact de l'extraction minière à plus grande profondeur et de réduire le tonnage moyen des puits de mines.

La production de métaux précieux au cours du trimestre a totalisé 2.166 onces d'or et 1.296 onces d'argent.

Conformément aux prévisions antérieures, la production pour 2019 devrait se situer entre 85.000 et 95.000 tonnes de zinc sous forme de concentré de zinc, les coûts C1 étant estimés à 0,25 à 0,35 \$US/lb. La production de l'année en cours du plan de mine provient en grande partie d'une zone minière qui devrait produire des teneurs moyennes en zinc plus élevées, mais ceci vient avec une contribution moindre des sous-produits de métaux précieux. Les résultats positifs des récentes études sur les rejets miniers ont permis d'intégrer d'autres zones à forte teneur dans les plans de mine de 2019 et 2020. Cela devrait permettre de maintenir la production à des niveaux presque record en termes d'équivalent zinc.

GÉOSCIENCES ET DÉCOUVERTES

Des activités de forage ont été effectuées sur les sites de Las Bambas au Pérou, ainsi que dans les projets de Nambulwa et Mwepu à proximité de la mine de Kinsevere et à d'autres nouveaux projets de cuivre et de cobalt en RDC.

Les activités de la Société au cours du trimestre se sont concentrées sur :

- Las Bambas - où des forages hydrogéologiques, géotechniques et de stérilisation pour le développement de la mine de Chalcobamba ont identifié une minéralisation adjacente au gisement de Chalcobamba.
- RDC - découverte et délimitation de gisements satellites d'oxyde de cuivre dans un rayon de 50 km (" RAD50 ") qui pourraient convenir à l'exploitation économique de la mine de Kinsevere

Les résultats des activités de Las Bambas et du projet Nambulwa en RDC sont présentés ci-dessous.

Las Bambas (Pérou)

Le programme de forage de Las Bambas a recoupé des minéralisations de skarn près de la surface et de cuivre porphyrique dans la zone Sud-Ouest de Chalcobamba (Figure 1).

La minéralisation de la zone Sud-Ouest de Chalcobamba, située à moins de 300 mètres de la limite Sud-Ouest de la mine actuelle de la Réserve de Minerai de Chalcobamba (Figure 2) a maintenant été recoupée par de multiples forages. Cette minéralisation de skarn et de porphyre est ouverte au Sud, à l'Est et à l'Ouest et se trouve à proximité d'une anomalie géophysique de Polarisation Induite (PI) non testée à environ 200 mètres plus au Sud de la zone (Figure 8). On s'attend à ce que d'autres forages démontrent que la nouvelle zone Sud-Ouest de Chalcobamba est continue avec la minéralisation principale de Chalcobamba et devrait motiver l'expansion de la conception de la mine de Chalcobamba.

MMG signale pour la première fois les multiples intervalles minéralisés d'épaisseurs extractibles situés au-dessus de la teneur de coupe et à moins de 275 mètres de la surface. Ces interceptions contiennent des intervalles de plus de > 1,00 % Cu abrité dans l'altération de skarn associée à des intervalles plus longs de minéralisation porphyrique à faible teneur (Figures 2-7). Les forages en cours sont axés sur la détermination de l'étendue de cette minéralisation et le test de cibles supplémentaires dans la superficie opérationnelle de Chalcobamba et sur la position plus large des terres.

Parmi les faits saillants, mentionnons¹:

- 126,8m @ 1,39% Cu et 7ppm Mo, dont 48,8m @ 2,43% Cu dans le trou de forage CHS19-012, à partir de 107,0m jusqu'au fond du trou
- 103,1m @ 0,54% Cu et 299ppm Mo, dans le trou de forage CHS19-011, à partir de 49,9m jusqu'au fond du trou
- 381,2 m @ 0,37 % Cu et 263 ppm Mo, dans le trou de forage CHS18-049, à partir de 0,90 m jusqu'au fond du trou

Ces trous de forage ont été exécutés dans le cadre d'une étude en cours dans la zone Sud-Ouest de Chalcobamba avant le développement de la mine de Chalcobamba. Un résumé de tous les résultats de forage obtenus à ce jour dans le cadre de ce programme est présenté au tableau 2 et tous les colliers de trou de forage sont illustrés à la Figure 2.

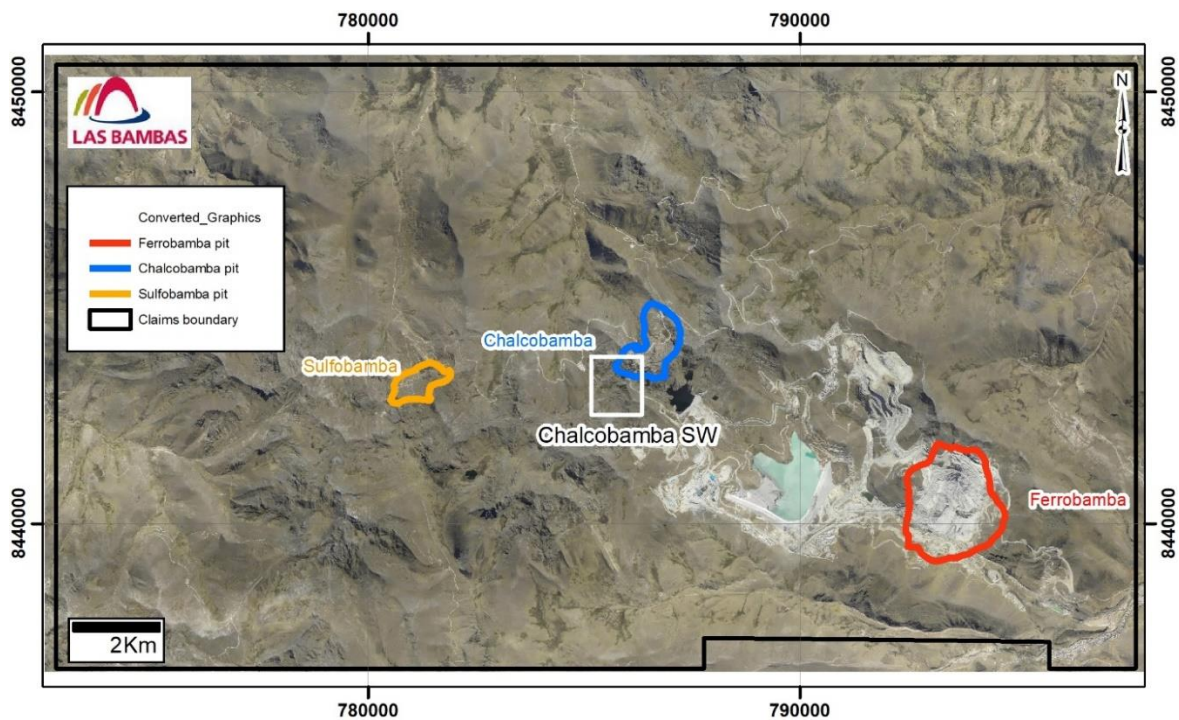


Figure 1. Zone du Bloc de Claims de Las Bambas mettant en évidence l'emplacement des Réserves et Ressources individuelles ainsi que la zone d'exploration du Secteur Sud-Ouest de Chalcobamba.

¹ Les intersections enregistrées sont des largeurs de fond de trou.

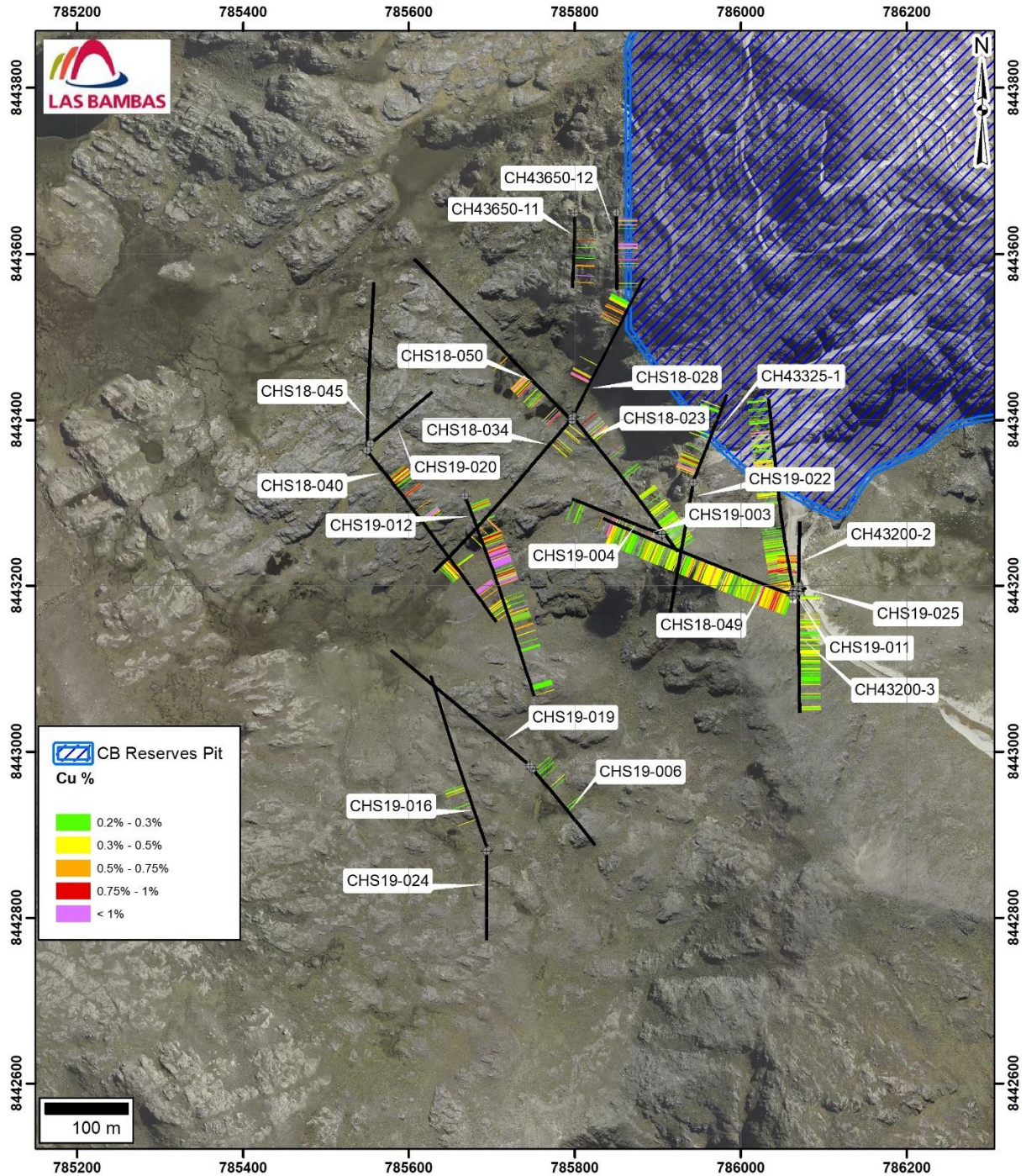


Figure 2. La zone Sud-Ouest de Chalcobamba et la mine adjacente de la Réserve de Minerai de Chalcobamba (contour bleu) sont représentées avec les traces de tous les forages et les teneurs en cuivre de fond de trou.

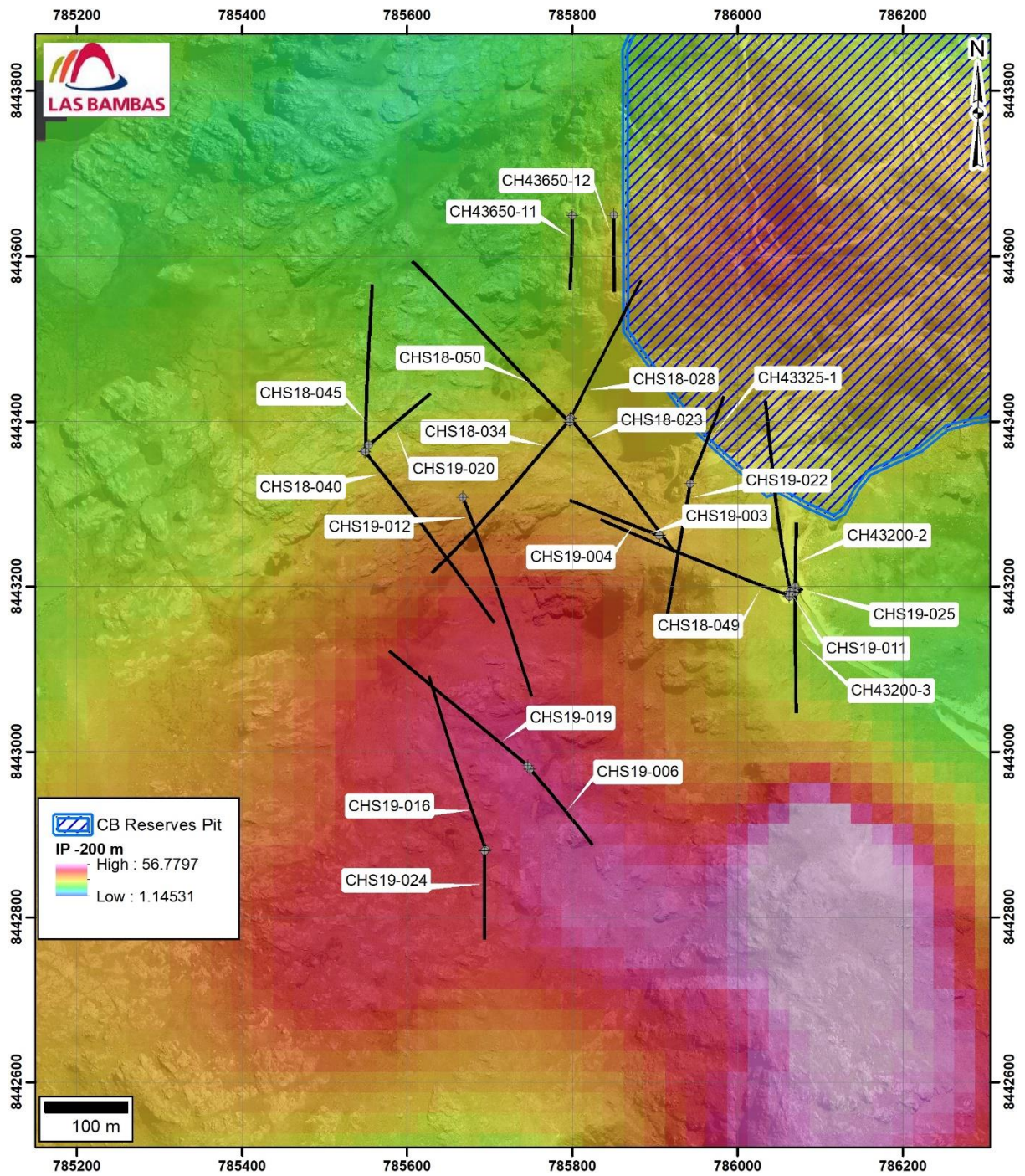


Figure 3. Même zone que celle illustrée à la Figure 2 avec carte de base de la tranche de profondeur de Chargeabilité PI à 200 mètres.

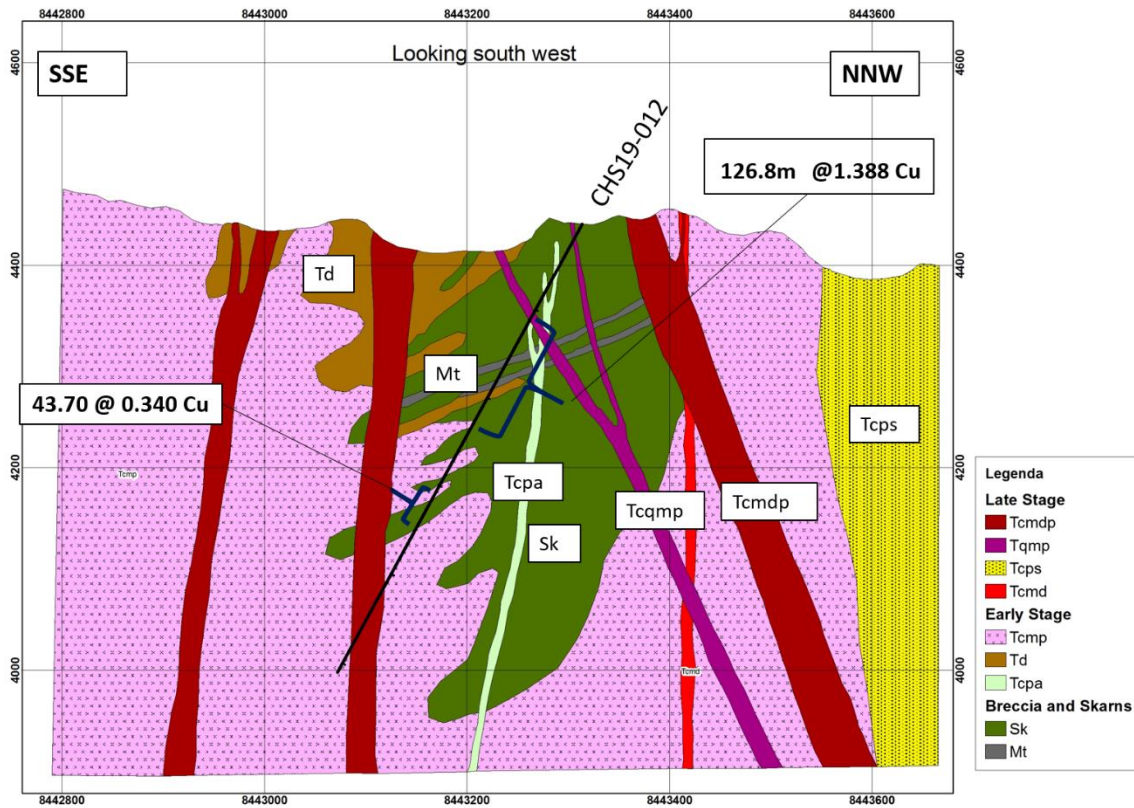


Figure 4. Coupe transversale géologique à travers le trou de forage CHS19-012. Référez-vous à la Figure 2 pour connaître la localisation des trous de forage.

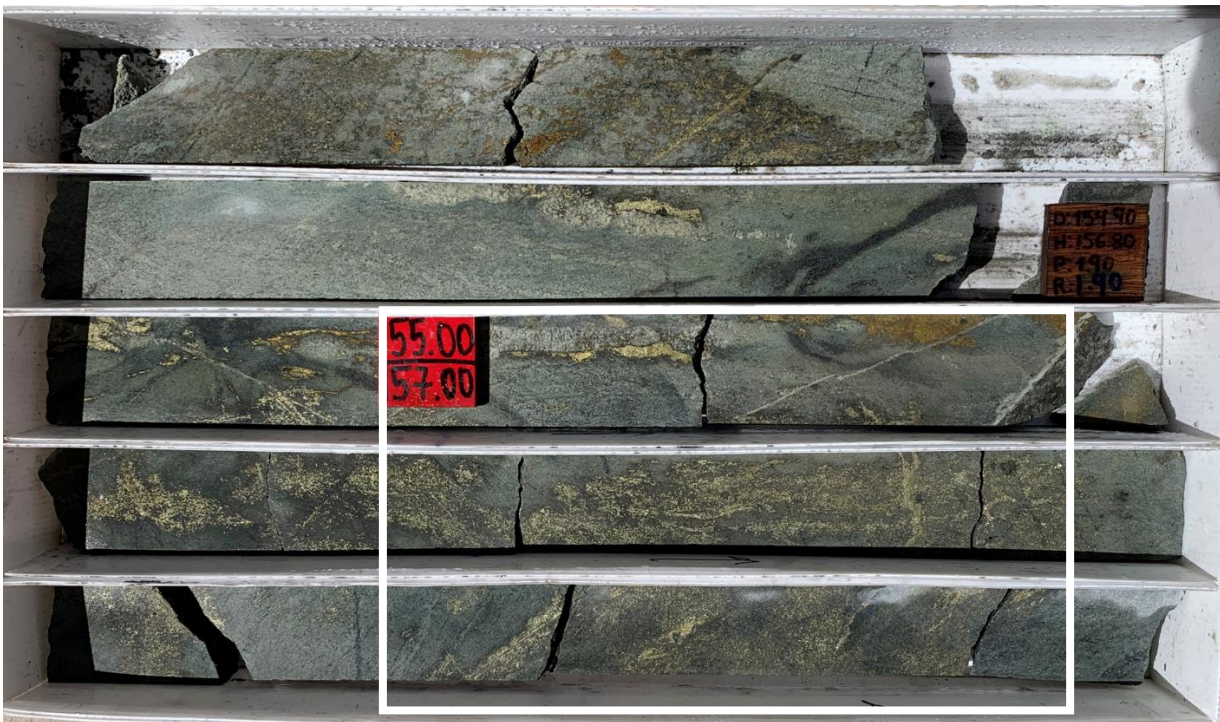


Figure 5. Minéralisation de chalcopyrite fortement disséminée, abritée par l'altération de skarn dans le sondage carottant CHS19-012. Le support de carottes contient des demi-carottes de 152,75m à 155,70m. Le contour blanc rectangulaire définit la zone de la photographie en gros plan présentée à la Figure 6 ci-dessous.

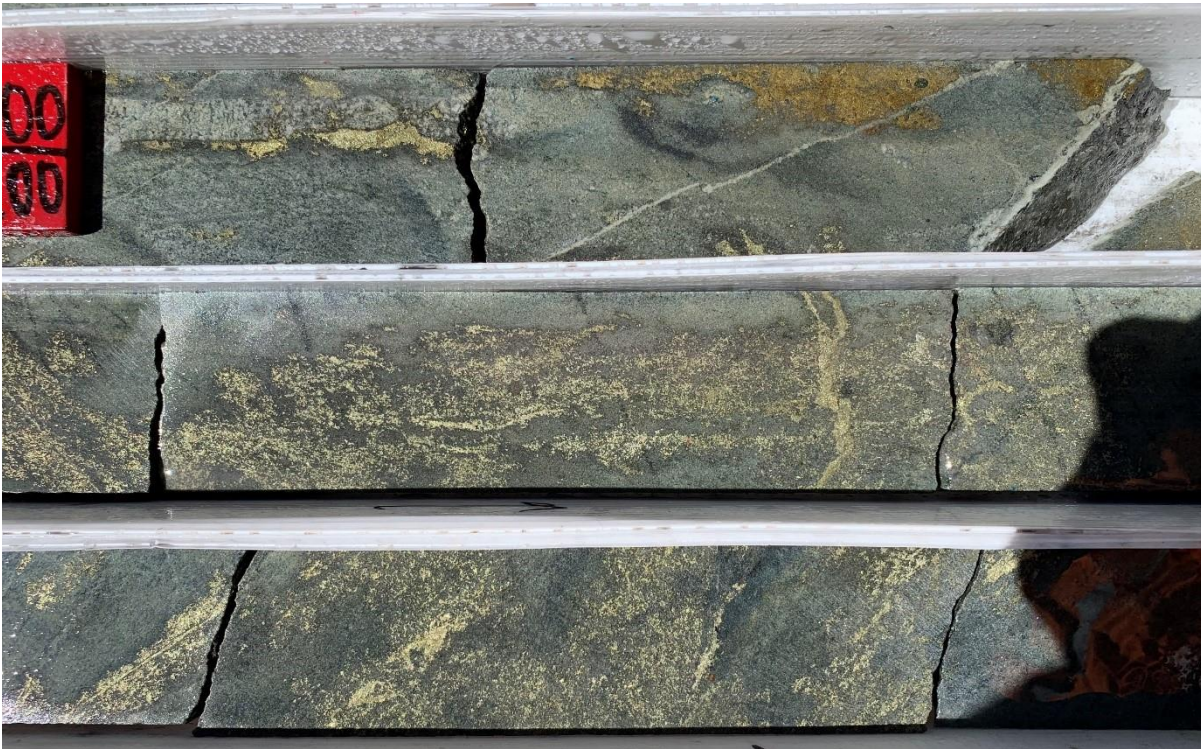


Figure 6. Gros plan de Chalcopyrite disséminée, abritée dans l'altération de skarn illustrée à la Figure 5.

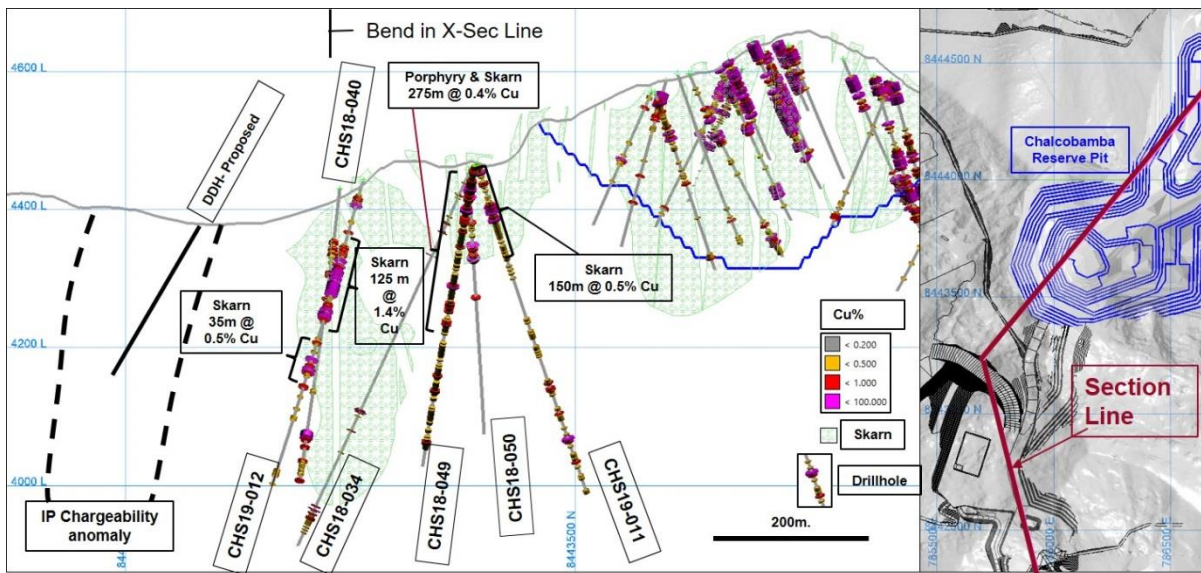


Figure 7. Coupe transversale dessinée à travers la Mine de Ressources/Réserve de Chalcobamba et la zone Sud-Ouest adjacente de Chalcobamba (à gauche) mettant en évidence les traces individuelles de forage, les analyses de cuivre en fond de trou ainsi que les intervalles minéralisés individuels. Les polygones de skarn sont représentés en vert hachuré.

Nambulwa (RDC)

De vastes campagnes de forage ont été réalisées au cours des saisons 2017-2018 sur le projet Nambulwa, menant à l'identification d'une minéralisation importante en oxyde de cuivre dans deux zones du projet - Nambulwa Main et DZ.

Le projet Nambulwa est situé sur le permis PE539, à environ 30 km au nord de la mine de Kinsevere en RDC (Figure 8). Un total de 15 568 m de forage DD et RC (au Diamant et par Circulation Inverse) a été complété sur les sites de Nambulwa Main et DZ au cours des campagnes 2017 et 2018. Nambulwa Main, une zone de minéralisation semi-continue d'oxyde de cuivre d'une longueur de 1.200 m et d'une largeur pouvant atteindre 40 m a été délimitée (Figures 9 et 10), tandis que sur le site DZ, située à 1 km au sud-ouest de Nambulwa Main, une zone de ~350 m de long et 50 m de largeur d'oxyde de cuivre a été délimitée (Figures 11 et 12). La minéralisation d'oxyde de cuivre à Nambulwa Main et DZ comprend principalement de la malachite avec des quantités mineures d'oxydes de cuivre noir.

Les interprétations préliminaires de la teneur, de l'épaisseur et des caractéristiques métallurgiques des intersections de forage à Nambulwa Main et à DZ indiquent une probabilité raisonnable d'exploitation économique d'une alimentation en minerai d'oxyde pour la mine de Kinsevere. D'autres travaux sont prévus pour la campagne sur terrain de 2019-2020, notamment des forages supplémentaires pour améliorer la fiabilité du modèle, l'estimation d'une ressource minérale classifiée, des études métallurgiques, des études géotechniques et une évaluation économique préliminaire du projet comme source de minerai satellite pour l'usine de Kinsevere.

Parmi les faits saillants, mentionnons²:

Nambulwa Main

- 13,0m @ 4,19% Cu, dans le trou de forage NAMDD037, à partir de 38,0m jusqu'au fond de trou
- 29,0 m @ 3,67 % Cu, dans le trou de forage NAMDD034 à partir de 45,0 m jusqu'au fond de trou
- 25,4 m @ 2,22 % Cu, dans le trou de forage NAMDD052, à partir de 36,0 m jusqu'au fond de trou
- 14,5m @ 3,24% Cu, dans le trou de forage NAMDDD050, à partir de 48,9m jusqu'au fond de trou
- 26,5 m @ 3,41 % Cu, dans le trou de forage NAMDDD008, à partir de 30,5 m jusqu'au fond de trou
- 10,0m @ 3,68% Cu, dans le trou de forage NAMDDD044, à partir de 14,9m jusqu'au fond de trou
- 14,4 m @ 6,96 % Cu, dans le trou de forage NAMDD042, à partir de 30,0 m jusqu'au fond de trou

DZ

- 24,2m @ 3,33% Cu, dans le trou de forage NAMDDD076, à partir de 24,0m jusqu'au fond de trou
- 9,0m @ 3,98% Cu, dans le trou de forage NAMDDD061, à partir de 13,0m jusqu'au fond de trou
- 54,0m @ 4,10% Cu, dans le trou de forage NAMDD060, à partir de 99,0m jusqu'au fond de trou
- 50,5m @ 2,13% Cu, dans le trou de forage NAMDD065, à partir de 105,4m jusqu'au fond de trou
- 19,0m @ 6,28% Cu, dans le trou de forage NAMAC047, à partir de 12,0m jusqu'au fond de trou

De plus amples détails sur les résultats de forage de Nambulwa Main et DZ sont présentés dans le tableau 1 ci-dessous.

² Les intersections enregistrées sont des largeurs de fond de trou.

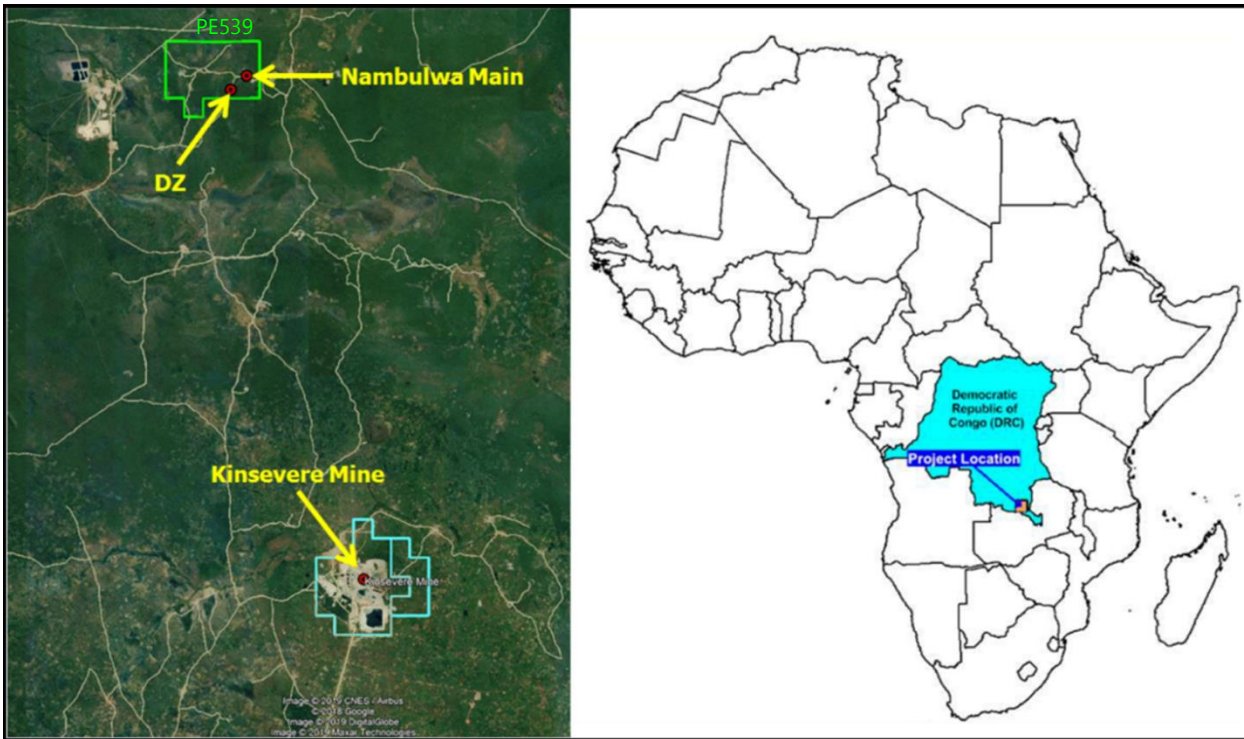


Figure 8 : Localisation du Projet de Nambulwa, à 30 km au Nord de la mine de Kinsevere.

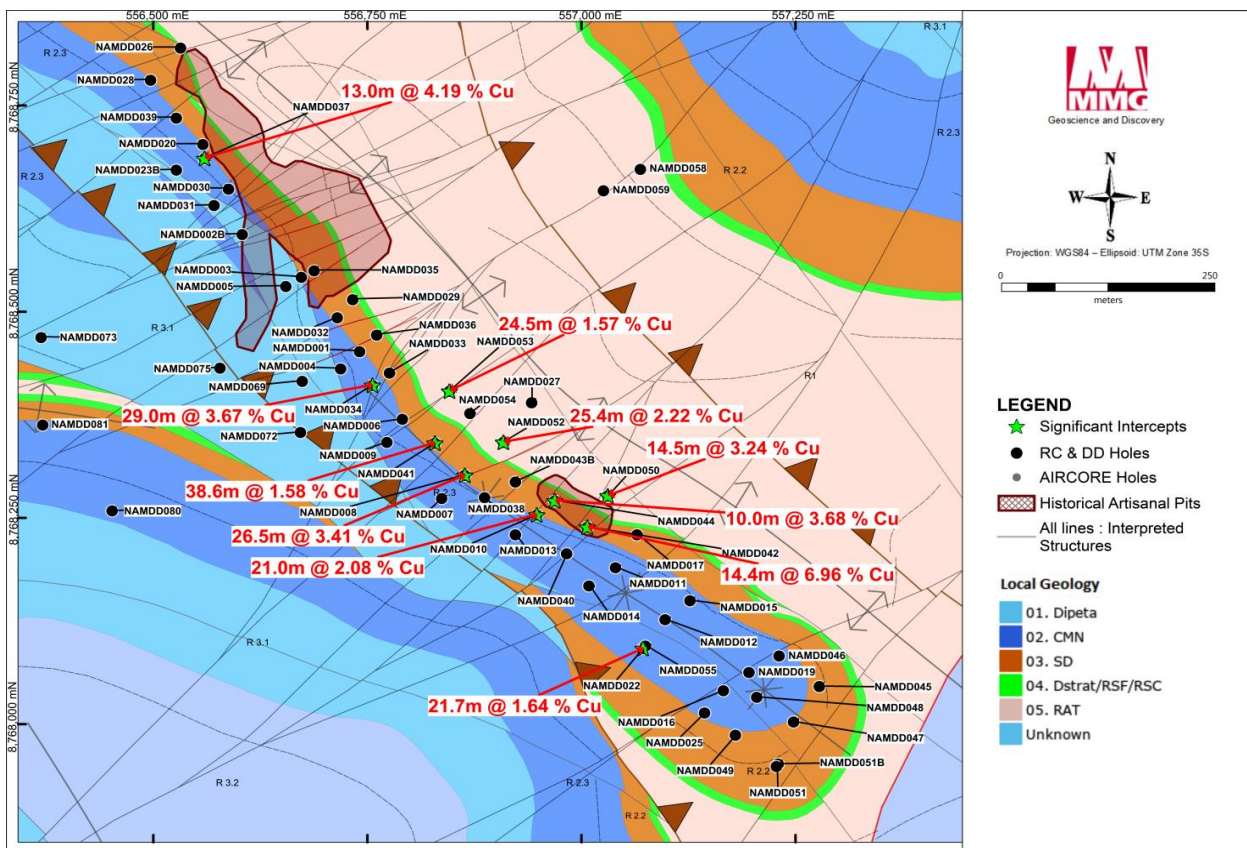


Figure 9 : La prospection de Nambulwa Main présentant les meilleures intersections de forage des campagnes 2017/18. Une liste complète des résultats d'exploration figure au Tableau 2.

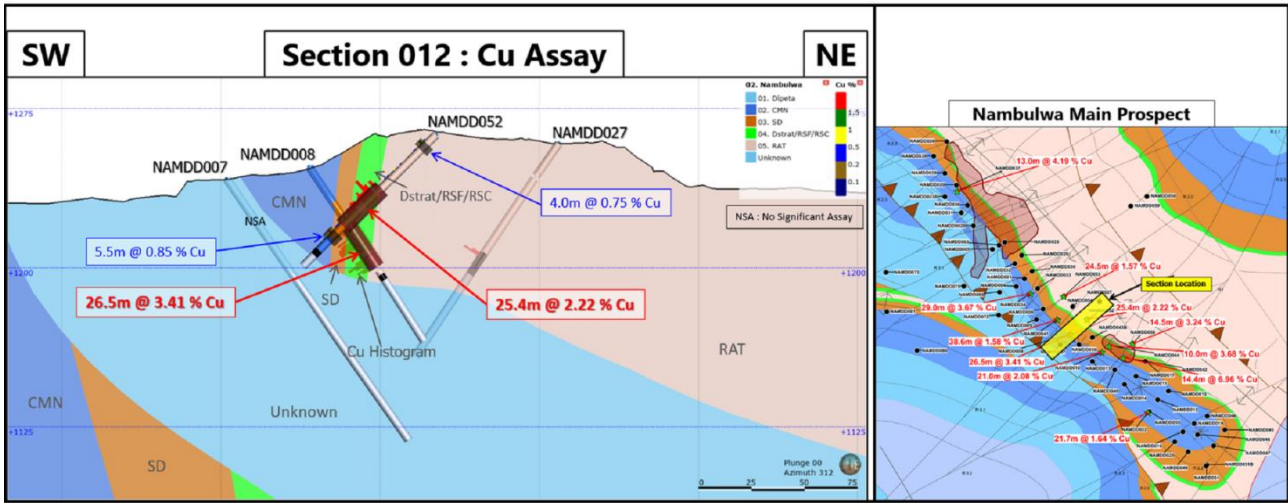


Figure 10 : Coupe transversale représentative de Nambulwa Main.

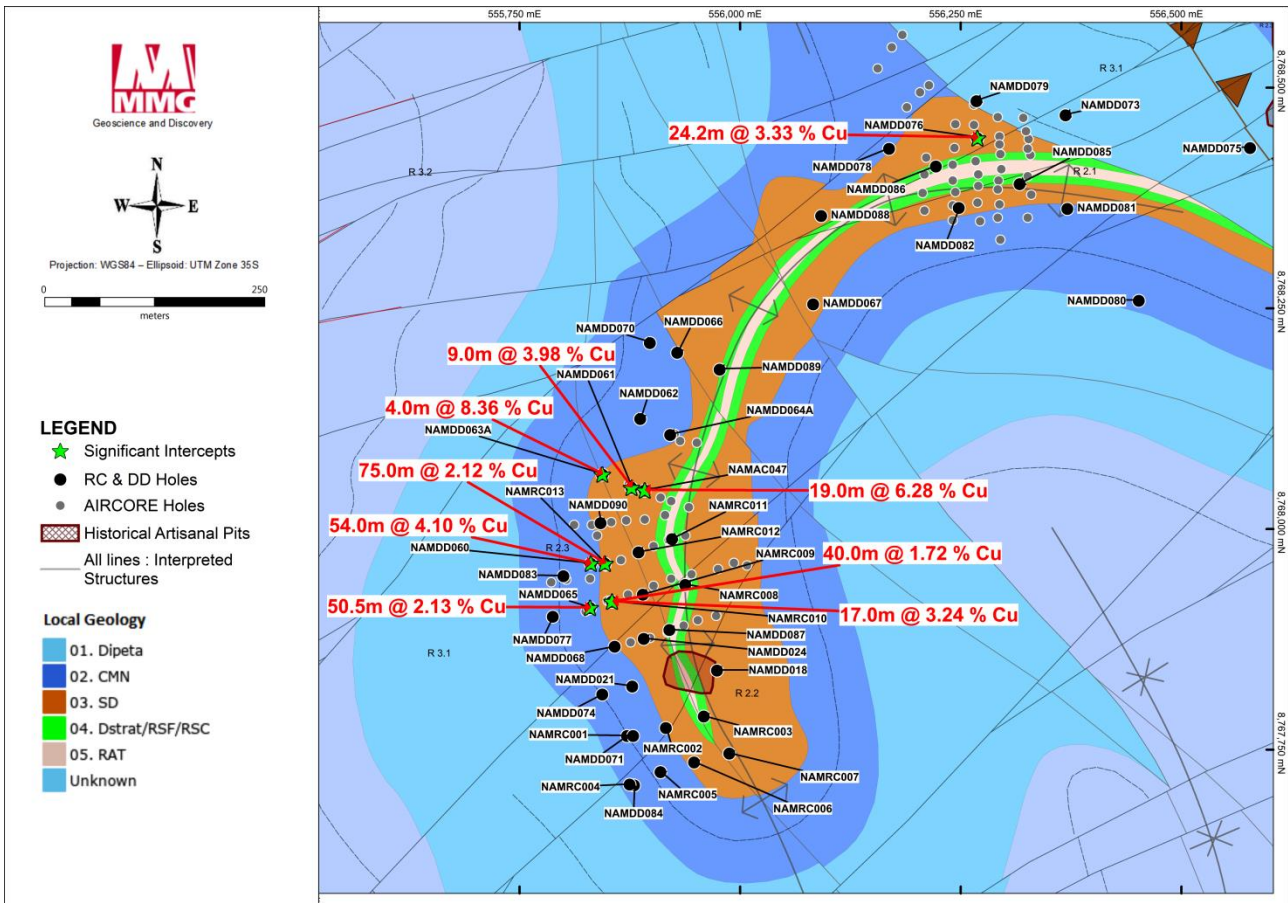


Figure 11 : La prospection de DZ présentant les meilleures intersections de forage des campagnes 2017/18. Une liste complète des résultats d'exploration figure au Tableau 2.

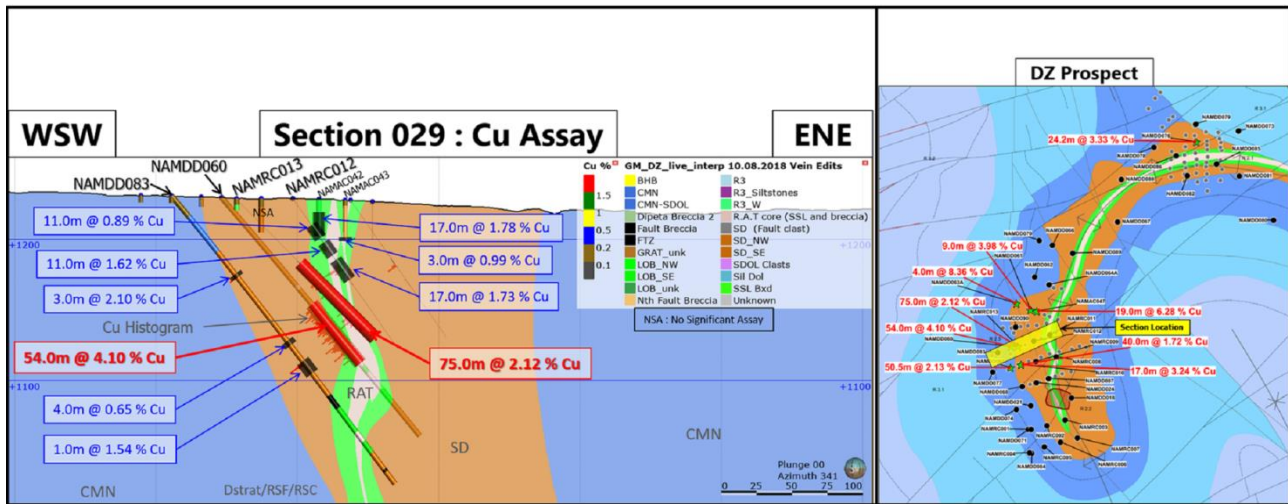


Figure 13 : Coupe transversale représentative de DZ.

DERNIERES INFORMATIONS SUR L'ENTREPRISE

DÉPART À LA RETRAITE ET DÉMISSION DES PRINCIPAUX DIRIGEANTS

Le 23 mai 2019, la Société a annoncé qu'elle avait reçu un préavis de départ à la retraite de M. Greg Travers en qualité de Directeur Général Exécutif – Soutien à l'Entreprise avec effet au 1er juillet 2019. Dans l'annonce du 23 mai 2019, la Société a également annoncé la création d'un nouveau poste au sein du Comité Exécutif de la Société, celui de Directeur Général Exécutif - Soutien Technique et Opérationnel, et la nomination de M. Suresh Vadnagra (actuellement Directeur Général Exécutif - Opérations Amérique) à ce poste.

Le 10 juillet 2019, la Société a annoncé la démission de M. Mark Davis, Directeur Général Exécutif en charge des Opérations, Afrique, Australie et Asie.

CODE MINIER DE LA RDC

Le Gouvernement de la RDC a poursuivi la mise en œuvre progressive du Code minier de 2018. Bien que MMG soutienne de nombreux aspects du Code, nous restons préoccupés par la mise en œuvre de quelques-uns des éléments les plus complexes (y compris la nouvelle taxe spéciale sur les super profits et les taxes environnementales) qui pourraient gravement compromettre la viabilité financière des opérations existantes. MMG continue de chercher à discuter de ces questions avec le Gouvernement de la RDC conformément au Traité bilatéral d'investissement entre la RDC et la République Populaire de Chine.

MMG maintient son engagement à l'égard d'un code minier national qui soutient la poursuite de la croissance de la RDC et des investissements de MMG dans cette province d'importance mondiale productrice du cuivre et du cobalt. MMG estime que cet objectif peut être atteint grâce à un dialogue constructif entre le Gouvernement de la RDC, l'industrie et les groupes de la société civile. MMG est fier de sa performance opérationnelle sur sept ans en RDC, qui a contribué de manière significative au développement social et à celui des employés.

CONTENTIEUX FISCAL A LAS BAMBAS

Le Groupe MMG s'est vu accorder des indemnités au titre de certaines questions fiscales découlant de la propriété antérieure du projet Las Bambas, c'est-à-dire jusqu'au 31 juillet 2014.

Le Groupe MMG a cherché à faire respecter ces indemnités en déposant deux demandes officielles auprès de la Haute Cour de Justice du Royaume-Uni pour un montant total de 31,5 millions de dollars américains. La décision de la Haute Cour rendue le 29 juin 2018 a été portée en appel par les parties.

Le 14 juin 2019, la Cour d'Appel anglaise a rendu un jugement rejetant les appels des deux parties. Le jugement a confirmé la décision de la Haute Cour et prévoit qu'une proportion importante des montants réclamés peut être recouvrée auprès de Glencore, mais seulement après la conclusion de la décision du Tribunal Fiscal au Pérou.

-FIN-

DÉCLARATION DE LA PERSONNE COMPÉTENTE :

Les renseignements contenus dans le présent rapport qui ont trait aux résultats d'exploration sont fondés sur les informations compilées par le Dr Marcus Tomkinson, membre de l'Australasian Institute of Mining and Metallurgy (AusIMM) et employé à plein temps de MMG Ltd. M. Tomkinson possède une expérience significative qui est adaptée au style de minéralisation et au type de gisement à l'étude et à l'activité qu'il entreprend pour se qualifier comme personne compétente au sens de l'Edition 2012 du Code Australasien sur la Publication des Résultats d'Exploration, des Ressources Minérales et des Réserves de Minerai. M. Tomkinson consent à ce que ces éléments soient inclus dans le rapport sur la base des informations présentées, sous la forme et dans le contexte dans lesquels ils apparaissent.

La version française abrégée du Rapport de Production Trimestriel est basée sur la version anglaise. En cas d'incohérence entre les versions anglaise et française dudit rapport, le texte anglais prévaudra.

The French abridged version of the Quarterly Production Report is based on the English version. If there is any inconsistency between the English and French versions of this Quarterly Report, the English text shall prevail to the extent of the inconsistency.

DETAILS DE L'ENTREPRISE

BUREAU DE MELBOURNE

Level 23, 28 Freshwater Place Southbank
Victoria 3006 Australia
T (61) 3 9288 0888

BUREAU DE HONG KONG

Unit 8506A, Level 85 International Commerce
Centre 1 Austin Road West Kowloon, Hong Kong
T (852) 2216 9688

ADRESSE POSTALE

GPO 2982 Melbourne, Victoria, 3001, Australia

COMITE EXECUTIF DE MMG LIMITED

GAO Xiaoyu, Chief Executive Officer and Executive Director
Ross CARROLL, Chief Financial Officer
XU Jiqing, Executive General Manager Commercial and Executive Director
Troy HEY, Executive General Manager Stakeholder Relations
Mark DAVIS, Executive General Manager Operations – Africa, Australia and Asia
Suresh VADNAGRA, Executive General Manager Operations – Americas

REGISTRE DES ACTIONS

Computershare Hong Kong Investor Services Limited 17th Floor, Hopewell Centre, 183 Queen's Road East Hong Kong

DATES IMPORTANTES

21 August 2019 – 2019 Interim Results Announcement
For details please contact Corporate Affairs below.

CONTACTS INVESTISSEUR ET MEDIA

Brent Walsh

Group Manager Strategy & Investor Relations
T +61 3 9284 4170
M +61 433 108 120
E brent.walsh@mmg.com

Andrea Atell

Group Manager Corporate Affairs
T +61 3 9288 0758
M +61 476 830 491
E andrea.atell@mmg.com

Langue Chinoise:

Maggie Qin

Group Manager China Relations
T +61 3 9288 0818
M +61 411 465 468
E maggie.qin@mmg.com

Tout au long de ce rapport, les chiffres en italiques indiquent que ce chiffre a été ajusté depuis la précédente publication.

APPENDIX – 2019 GUIDANCE

GUIDANCE SUMMARY		
	2019 GUIDANCE	2018 ACTUAL
Las Bambas		
Copper – production	~385,000 tonnes	385,299 tonnes
Copper – C1 costs	~US\$1.25 / lb	US\$1.18 / lb
Dugald River		
Zinc – production	165,000 – 175,000 tonnes	147,320 tonnes ³
Zinc – C1 costs	US\$0.70 – US\$0.75 / lb	US\$0.58 / lb ⁴
Kinsevere		
Copper – production	65,000 - 70,000 tonnes	79,711 tonnes
Copper – C1 costs	US\$2.15 – US\$2.25 / lb	US\$1.68 / lb
Rosebery		
Zinc – production	85,000 – 95,000 tonnes	75,721 tonnes
Zinc – C1 costs	US\$0.25 – US\$0.35 / lb	US\$(0.04)/ lb

³ Production volumes include 39,717 of pre-commercial production tonnes at Dugald River.

⁴ C1 cost actual shown is for the period post commercial production (from 1 May 2018).

APPENDIX – PRODUCTION RESULTS

		LAS BAMBAS						
		QUARTER ENDED				YEAR-TO-DATE		
		JUN 2018	SEP 2018	DEC 2018	MAR 2019	JUN 2019	JUN 2019	JUN 2018
Ore mined - copper	tonnes	13,039,360	15,604,382	17,436,646	15,543,100	11,743,412	27,286,512	24,398,944
Ore milled - copper	tonnes	11,831,470	12,665,001	13,116,453	12,822,132	11,992,161	24,814,293	23,662,414
COPPER								
Ore mined - grade	%	0.9	0.7	0.9	0.8	0.8	0.8	0.9
Ore milled - grade	%	0.9	0.7	1.0	0.9	0.8	0.8	0.9
Recovery	%	88.1	85.5	85.0	88.5	86.6	87.6	87.3
Production								
Copper concentrate	tonnes	264,120	244,971	278,751	265,311	219,423	484,734	494,158
Grade	%	37.7	35.4	40.1	38.2	38.5	38.3	37.8
Containing	tonnes	99,581	86,797	111,865	101,452	84,373	185,825	186,637
Sales								
Total concentrate sold	tonnes	256,954	243,107	303,084	111,515	271,521	383,036	525,515
Payable metal in product sold	tonnes	92,508	83,657	112,774	41,262	99,001	140,264	188,243
GOLD & SILVER								
Payable metal in product sold - gold	oz	25,522	23,691	31,772	10,463	27,248	37,711	52,387
Payable metal in product sold - silver	oz	1,246,656	1,167,006	1,682,874	636,316	1,416,348	2,052,664	2,633,916
MOLYBDENUM								
Production								
Molybdenum concentrate	tonnes	855	1,132	956	1,062	1,189	2,250	1,922
Grade	%	49.9	49.4	47.0	48.2	47.3	47.8	49.6
Contained metal produced	tonnes	426	559	449	512	563	1,075	953
Sales								
Total product sold	tonnes	922	832	1,300	790	1,097	1,887	1,925
Payable metal in product sold	tonnes	458	418	624	377	524	901	947

DUGALD RIVER								
		QUARTER ENDED					YEAR-TO-DATE	
		JUN 2018	SEP 2018	DEC 2018	MAR 2019	JUN 2019	JUN 2019	JUN 2018
Ore mined	tonnes	308,081	425,293	487,498	393,004	453,261	846,264	561,013
Ore milled	tonnes	449,562	475,505	490,264	457,478	428,651	886,128	790,078
ZINC								
Ore mined - grade	%	10.2	10.0	10.0	10.5	10.3	10.4	10.7
Ore milled - grade	%	10.4	9.7	10.2	9.9	9.9	9.9	10.5
Recovery	%	83.0	82.9	83.6	84.7	84.5	84.6	82.8
Production								
Zinc concentrate	tonnes	76,500	77,771	83,719	79,071	73,782	152,852	131,953
Grade	%	50.5	49.3	49.7	48.9	48.6	48.7	50.7
Containing	tonnes	38,648	38,377	41,641	38,665	35,850	74,515	67,302
Sales								
Total product sold	tonnes	68,419	83,316	79,870	55,084	95,148	150,232	128,702
Payable metal in product sold	tonnes	28,737	33,705	32,821	22,676	38,634	61,310	55,022
LEAD								
Ore mined - grade	%	1.5	1.8	1.7	1.7	1.9	1.8	1.8
Ore milled - grade	%	1.7	1.8	1.7	1.6	1.9	1.8	1.8
Recovery	%	59.4	65.2	62.5	67.7	68.3	68.1	57.4
Production								
Lead concentrate	tonnes	8,532	9,118	9,336.0	8,730	9,147	17,876	10,988
Grade	%	52.6	60.3	56.7	58.1	60.8	59.5	53.7
Containing	tonnes	4,489	5,501	5,297	5,076	5,563	10,639	5,895
Sales								
Total product sold	tonnes	9,204	5,013	12,753	4,313	10,727	15,040	9,204
Payable metal in product sold	tonnes	4,533	2,782	7,037	2,299	5,927	8,226	4,533
SILVER								
Ore milled - grade	g/t	47.4	52.1	51.5	47.9	59.3	53.4	49.3
Payable metal in product sold	oz	284,693	315,998	451,712	128,644	368,674	497,319	293,210

		KINSEVERE						
		QUARTER ENDED				YEAR-TO-DATE		
		JUN 2018	SEP 2018	DEC 2018	MAR 2019	JUN 2019	JUN 2019	JUN 2018
Ore mined - copper	tonnes	874,335	904,144	730,283	600,765	544,845	1,145,610	1,420,417
Ore milled - copper	tonnes	593,697	617,734	596,227	508,843	590,577	1,099,421	1,193,306
COPPER								
Ore mined - grade	%	2.5	2.5	2.1	2.2	2.0	2.1	2.5
Ore milled - grade	%	3.5	3.4	3.2	2.7	2.9	2.8	3.5
Recovery	%	97.1	97.1	96.8	96.3	95.3	95.8	96.7
Production								
Contained metal produced - cathode	tonnes	20,570	20,691	18,463	12,539	16,463	29,002	40,556
Sales								
Total product sold - cathode	tonnes	20,452	20,525	18,313	11,800	15,639	27,439	40,231
Payable metal in product sold - cathode	tonnes	20,452	20,525	18,313	11,800	15,639	27,439	40,231

ROSEBERY								
		QUARTER ENDED					YEAR-TO-DATE	
		JUN 2018	SEP 2018	DEC 2018	MAR 2019	JUN 2019	JUN 2019	JUN 2018
Ore mined	tonnes	243,354	260,810	264,224	250,004	248,537	498,541	492,056
Ore milled	tonnes	262,496	265,670	259,307	259,833	251,282	511,115	503,258
ZINC								
Ore mined - grade	%	9.1	8.0	9.1	9.0	9.5	9.3	9.2
Ore milled - grade	%	8.9	8.5	8.3	8.4	9.9	9.2	9.0
Recovery	%	83.6	85.3	85.3	84.4	84.7	84.5	84.1
Production								
Zinc concentrate	tonnes	36,161	35,663	33,980	34,132	39,032	73,164	70,260
Grade	%	53.8	53.9	54.3	54.2	54.0	54.1	54.2
Containing	tonnes	19,442	19,218	18,444	18,486	21,079	39,565	38,059
Sales								
Total product sold	tonnes	38,533	38,352	26,959	37,931	37,968	75,899	77,512
Payable metal in product sold	tonnes	18,573	18,143	12,517	17,705	17,750	35,455	36,189
LEAD								
Ore mined - grade	%	3.8	2.9	3.3	3.1	3.0	3.0	3.7
Ore milled - grade	%	3.9	3.2	3.1	3.0	3.1	3.0	3.9
Recovery	%	81.8	73.8	75.7	76.2	79.0	77.6	82.3
Production								
Lead concentrate	tonnes	13,968	10,750	9,906	9,392	10,261	19,653	26,774
Grade	%	60.5	58.8	61.6	62.9	60.3	61.5	60.9
Containing	tonnes	8,453	6,326	6,107	5,910	6,186	12,096	16,312
Sales								
Total product sold	tonnes	14,229	12,363	6,732	7,245	11,925	19,170	28,117
Payable metal in product sold	tonnes	8,246	7,138	3,901	4,198	7,112	11,311	16,342

ROSEBERY (continued)								
		QUARTER ENDED					YEAR-TO-DATE	
		JUN 2018	SEP 2018	DEC 2018	MAR 2019	JUN 2019	JUN 2019	JUN 2018
Ore mined	tonnes	243,354	260,810	264,224	250,004	248,537	498,541	492,056
Ore milled	tonnes	262,496	265,670	259,307	259,833	251,282	511,115	503,258
COPPER								
Ore mined - grade	%	0.2	0.2	0.2	0.2	0.2	0.2	0.2
Ore milled - grade	%	0.2	0.2	0.2	0.2	0.2	0.2	0.2
Recovery	%	59.1	50.1	64.6	62.4	57.5	60.0	60.9
Production								
Copper concentrate	tonnes	2,065	1,804	2,356	2,223	1,954	4,177	4,320
Grade	%	17.4	16.1	17.4	17	16.5	16.8	17.7
Containing	tonnes	359	291	409	378	322	700	765
Sales								
Total product sold	tonnes	2,532	1,815	2,089	2,649	1,721	4,369	4,276
Payable metal in product sold	tonnes	433	290	327	430	287	716	734
OTHER METALS								
Ore mined - gold	g/t	1.7	1.3	1.4	1.4	1.2	1.3	1.6
Ore milled - silver	g/t	148.6	130.0	113.1	101.6	104.3	102.9	140.3
Recovery - gold	%	26.7	27.6	20.6	27.2	21.0	24.9	27.9
Production								
Gold doré	oz	6,185	5,047	4,357	5,462	3,702	9,164	12,127
Containing - gold	oz	3,794	3,018	2,559	3,314	2,166	5,480	7,390
Containing - silver	oz	2,082	1,755	1,454	1,842	1,296	3,138	4,034
Sales								
Gold doré sold	oz	5,665	4,758	3,388	5,679	3,023	8,702	13,371
Payable metal in product sold - gold	oz	3,664	3,020	2,163	3,642	1,884	5,526	8,640
Payable metal in product sold - silver	oz	932,493	782,290	482,876	544,262	612,630	1,156,892	1,652,678

APPENDIX – DRILLING AND EXPLORATION

JORC 2012 TABLE 1 – LAS BAMBAS EXPLORATION ACTIVITIES

The following information provided in

Table 1 complies with the 2012 JORC Code requirements specified by “Table-1 Section 1-3” of the Code.

Table 1 JORC 2012 Code Table 1 Assessment and Reporting Criteria for Las Bambas Exploration Activity

ASSESSMENT CRITERIA	COMMENTARY
SECTION 1 SAMPLING TECHNIQUES AND DATA	
Sampling techniques	<ul style="list-style-type: none"> – Diamond drilling (DD) was used to obtain an average 2m sample that is half core split, crushed and pulverised to produce a pulp (95% passing 105µm). Diamond core is selected, marked and numbered for sampling by the logging geologist. Sample details are stored in a Geobank database for correlation with returned geochemical assay results. – Samples for analysis are bagged, shuffled, re-numbered and de-identified prior to dispatch. – Core samples were cut and sampled at an ALS sample preparation laboratory on-site. Samples are then sent to ALS Lima for preparation and analysis. – There are no inherent sampling problems recognised. – Measures taken to ensure sample representivity include the collection, and analysis of coarse crush duplicates.
Drilling techniques	<ul style="list-style-type: none"> – The drilling type is wireline diamond core drilling from surface. Drill core is not oriented.
Drill sample recovery	<ul style="list-style-type: none"> – Recovery is estimated by measuring the recovered core within a drill run length and recorded in the Geobank database. Run by run recovery has been recorded for all 6,226.20 m drilled to date at Chalcobamba Southwest with a recovery of 98.9%. Of diamond drilling in the data used for Mineral Resources estimation for the Sulfobamba, Chalcobamba and Ferrobamba deposits. Diamond drill recovery average is about 97% for all deposits (98% for Sulfobamba, 97% for Chalcobamba and Ferrobamba deposits). – The drilling process is controlled by the drill crew and geological supervision provides a means for maximising sample recovery and ensures suitable core presentation. No other measures are taken to maximise core recovery. – There is no detectable correlation between recovery and grade which can be determined from graphical and statistical analysis. Preferential loss/gains of fine or coarse materials are not significant and do not result in sample bias as the nature of mineralisation is stock-work veins and disseminated sulphides. Diamond core sampling is applied, and recovery is considered high.
Logging	<ul style="list-style-type: none"> – 100% of diamond drill core has been geologically and geotechnically logged. – Geological logging is qualitative and geotechnical logging is quantitative. All drill core is photographed.
Sub-sampling techniques and sample preparation	<ul style="list-style-type: none"> – All samples are from diamond drill core. Drill core is longitudinally sawn to provide half-core samples within intervals directed by the logging geologist. The remaining half-core is kept and stored in the original sample tray. The standard sampling length is 2m for PQ core (minimum 1.2m) and HQ core (minimum 1.2m, maximum 2.2m) while NQ core is sampled at 2.5m (minimum 1.5m). Sample intervals do not cross geological boundaries. – Geological samples have been processed in the following manner: Dried, crushed, pulverised to 95% passing 105µm. Sizing analyses are carried out on one in 10-15 samples. – Representivity of samples is checked by duplication at the crush stage in one in every 40 samples. No field duplicates are taken. – Twelve-month rolling Quality Assurance / Quality Control (QAQC) analysis of sample preparation techniques indicate the process is appropriate for Las Bambas samples. – The sample types, nature, quality and sample preparation techniques are considered appropriate for the style of the Las Bambas mineralisation (porphyry and skarn Cu-Mo mineralisation) by the

ASSESSMENT
CRITERIA

COMMENTARY

SECTION 1 SAMPLING TECHNIQUES AND DATA

	Competent Person.
Quality of assay data and laboratory tests	<ul style="list-style-type: none"> – Routine assay methods undertaken by ALS (Lima) for Las Bambas are as follows: <ul style="list-style-type: none"> ○ Cu, Ag, Pb, Zn, Mo - 0.5g of sample. Digestion by 4-Acids. Reading by Atomic Absorption Spectrometry (AAS). ○ Acid soluble copper – 0.5g sample. Leaching by a 5% solution of H₂SO₄ at ambient temperature for 1 hour. Reading by AAS. ○ Au - Fire assay with AAS Finish. Over-range results are re-assayed by Gravimetric Finish. ○ 35 elements - Digestion by aqua-regia and reading by ICP. – All of the above methods with the exception of the acid soluble copper are considered total digest. – No geophysical tools, spectrometers or handheld XRF instruments have been used in the analysis of samples external to the ALS laboratory for the estimation of Mineral Resources. – For the 2018 and 2019 programs, duplicated samples were collected at the time of sampling and securely stored. Samples for the 2018 were then sent to the Inspectorate Laboratory, Lima, for third party (umpire) analysis. The 2019 samples are in process. The samples were selected at a rate of 1:40. Results received indicate a good correlation between datasets and show no bias for copper, molybdenum, silver and gold. – ALS release monthly QAQC data to Las Bambas for analysis of internal laboratory standard performance. The performance of the laboratory internal standards is within acceptable limits. – Las Bambas routinely insert: <ul style="list-style-type: none"> ○ Primary coarse duplicates: Inserted at a rate of 1:40 samples. ○ Coarse blank samples: Inserted after a high-grade sample (coarse blank samples currently make up about 4.2% of all samples analysed). ○ Pulp duplicates samples: Inserted 1:40 samples. ○ Pulp blank samples are inserted before the coarse blank sample and always after a high-grade sample (pulp blank samples currently make up about 4.2% of all samples analysed). – QAQC analysis has shown that for: <ul style="list-style-type: none"> ○ Blanks: a minimum level of sample contamination by copper was detected during the sample preparation and assay. ○ Duplicates: the analytical precision is within acceptable ranges when compared to the original sample, i.e., more than 90% of the pairs of samples are within the error limits evaluated for a maximum relative error of 10% (R₂>0.90). These results were also repeated in the external ALS check samples. ○ Certified Reference Material: acceptable levels of accuracy and precision have been established. – Sizing test results are not routinely analysed.
Verification of sampling and assaying	<ul style="list-style-type: none"> – Verification by independent personnel was not undertaken at the time of drilling. However, drilling, core logging and sampling data is entered by geologists; assay results are entered by the resource geologist after data is checked for outliers, sample swaps, performance of duplicates, blanks and standards, and significant intersections are checked against core log entries and core photos. Errors are rectified before data is entered into the database. – No twinned drillholes have been completed. – All drillholes are logged using laptop computers directly into the drillhole database (Geobank). All laboratory primary data and certificates are stored on the Las Bambas server. – The database has internal validation processes which prevent invalid or unapproved records from being stored. Additional manual data validation occurs in Vulcan software before data is used. – No adjustments have been made to assay data.

ASSESSMENT CRITERIA	COMMENTARY
---------------------	------------

SECTION 1 SAMPLING TECHNIQUES AND DATA

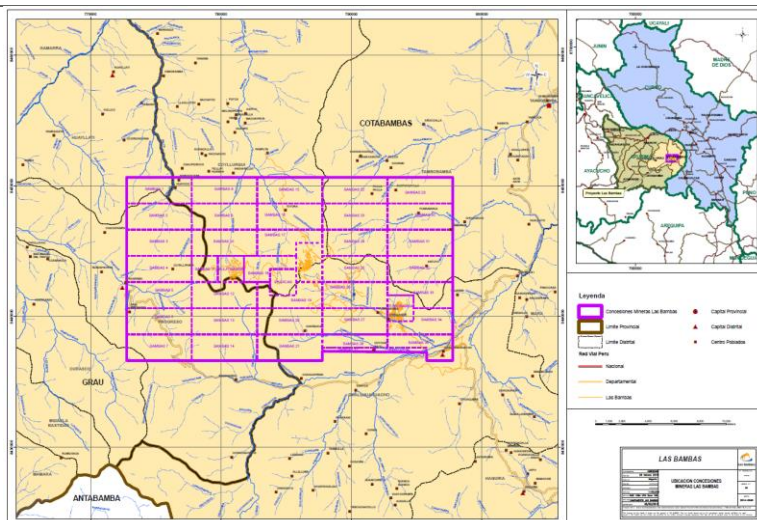
Location of data points	<ul style="list-style-type: none"> – Drillholes are set out using UTM co-ordinates with a hand held Differential Global Positioning System (DGPS) and are accurate to within 1m. On completion of drilling, collar locations are picked up by the onsite surveyors using DGPS (Trimble or Topcon). These collar locations are accurate to within 0.5m. – All drillholes are surveyed using Reflex Gyro Sprint equipment. Measurements are taken every 25 to 50 metres during drilling itself and the entire hole is surveyed with continuous readings/measurements once the hole has been completed. The downhole surveys are considered accurate for Mineral Resources estimation work. – The datum used is WGS 84 with a UTM coordinate system zone 19 South. – In June 2018, DIMAP Pty. Ltd processed LiDAR for the area covered by Las Bambas mine site and its surroundings. The Lidar component of the flight was required to generate a point cloud with +7 pts/sqm minimum, with the core area covering the exploration site having a density of +12 pts/sqm. The maps delivered were drafted in UTM coordinates and the projections used were WGS 84. The Lidar surface from this survey is in current use at site and is considered suitable for Mineral Resources and Ore Reserves estimation purposes.
Data spacing and distribution	<ul style="list-style-type: none"> – The scope of this report covers exploration stage drilling at Chalcobamba Southwest. Drill platforms are variably spaced though they are generally about 200m apart. Occasionally, platforms are separated by 100m or less. Multiple, angle holes may be drilled from a single platform and result in an average data spacing of less than 200m.
Sample security	<ul style="list-style-type: none"> – Measures to provide sample security include: <ul style="list-style-type: none"> ○ Adequately trained and supervised sampling personnel. ○ Samples are stored in a locked compound with restricted access during preparation. ○ Dispatch to various laboratories via contract transport provider in sealed containers. ○ Receipt of samples acknowledged by receiving analytical laboratory by email and checked against expected submission list. ○ Assay data returned separately in both spreadsheet and PDF formats.
Audit and reviews	<ul style="list-style-type: none"> – No audits on these drilling results have been completed. – Regular laboratory inspections are completed and documented by corporate exploration staff.

ASSESSMENT CRITERIA	COMMENTARY
---------------------	------------

SECTION 2 REPORTING OF EXPLORATION RESULTS⁵

Mineral tenement and land tenure status	<ul style="list-style-type: none"> – The Las Bambas project has tenure over 41 Mineral Concessions. These Mineral Concessions secure the right to the minerals in the area, but do not provide rights to the surface land. – Property of surface land is acquired through a separate process. The below map outlines the 41 Mineral Concessions and the mine property owned by MMG.
---	---

⁵ Drilling executed as part of a hydrogeological, geotechnical and sterilisation program

**ASSESSMENT
CRITERIA COMMENTARY**
SECTION 2 REPORTING OF EXPLORATION RESULTS⁵


– Tenure over the 41 Concessions is in good standing. There are no known impediments to operating in the area.

Exploration done by other parties	Company	Year	Deposit	Purpose	Type	# of DDH	Drill size	Metres Drilled
	Cerro de Pasco	1996	Chalcobamba	Exploration		6		906.4
	Cyprus	1996	Chalcobamba	Exploration	DDH	9	Unknown	1,367.30
	Phelps Dodge	1997	Ferrobamba	Exploration	DDH	4	Unknown	737.8
			Chalcobamba					4
	BHP	1997	Ferrobamba	Exploration	DDH	3	Unknown	365.8
			Chalcobamba					4
	Pro Invest	2003	Ferrobamba	Exploration	DDH	4	HQ	738
			Chalcobamba					7
		2005	Ferrobamba	Resource Evaluation	DDH	109	HQ	26,839.90
			Chalcobamba					66
		2006	Sulfobamba	Resource Evaluation	DDH	60	HQ	13,943.00
			Ferrobamba					125
	Xstrata	2006	Chalcobamba	Resource Evaluation	DDH	95	HQ	27,982.90
			Sulfobamba					60
		2007	Charcas	Resource Evaluation	DDH	8	HQ	2,614.10
			Azuljaja					4
		2007	Ferrobamba	Resource Evaluation	DDH	131	HQ	46,710.40
			Chalcobamba					134

**ASSESSMENT
CRITERIA COMMENTARY**
SECTION 2 REPORTING OF EXPLORATION RESULTS⁵

		Sulfobamba		22		4,996.60	
2008		Ferrobamba	Resource Evaluation	DDH	118	HQ	46,773.80
		Chalcobamba					
2010		Ferrobamba	Resource Evaluation	DDH	91	HQ	28,399.90
2014		Ferrobamba	Resource Evaluation	DDH	23	HQ	12,609.70
		Huancarane	Sterilisation	DDH	3	HQ	1,265.60
2015		Huancarane	Sterilisation	DDH	5	HQ	772.6
2015		Ferrobamba	Resource Evaluation	DDH	154	HQ	53,771.7
2016		Ferrobamba	Resource Evaluation	DDH	104	HQ	31,206.2
		Chalcobamba	Resource Evaluation	DDH	13		1,880.3
2017	MMG	Ferrobamba	Resource Evaluation	DDH	44	HQ	20,211.35
		Ferrobamba	Resource Evaluation	DDH	83	HQ-NQ-BQ	48,062.70
2018		Chalcobamba	Resource Evaluation	DDH	46	HQ	7,278.60
		Chalcobamba SW	Exploration	DDH	7	HQ	3,459.50
		Ferrobamba	Resource Evaluation	DDH	48	HQ-NQ-BQ	17,457.70
2019		Chalcobamba	Resource Evaluation	DDH	26	HQ	8,764.60
		Chalcobamba SW	Exploration	DDH	11	HQ	3,554.10
Total				1,721		557,187.65	

Geology

- Las Bambas is located in a belt of Cu (Mo-Au) skarn deposits associated with porphyry type systems situated in south-eastern Peru. This metallogenic belt is controlled by the Andahuaylas-Yauri Batholith of Eocene- Oligocene age, which is emplaced in Mesozoic sedimentary units, with the Ferrobamba Formation (Lower to Upper Cretaceous) being of greatest mineralising importance.
- The porphyry style mineralisation occurs in quartz-monzonite to granodiorite rocks. Hypogene copper sulphides are the main copper bearing minerals with minor occurrence of supergene copper oxides and carbonates near surface. The intrusive rocks of the batholith in contact with the Ferrobamba limestones gave rise to contact metamorphism and, in certain locations, skarn bodies with Cu (Mo-Au) mineralisation.

Drillhole
Information

HOLEID	EASTING	NORTHING	ELEV	AZIMUTH	INCLINATION	TD
CH43200-2	786,070	8,443,199	4,464	0.3	-59.3	153.3

ASSESSMENT COMMENTARY
CRITERIA
SECTION 2 REPORTING OF EXPLORATION RESULTS⁵

CH43200-3	786,070	8,443,193	4,464	180	-53.3	253.5
CH43325-1	785,943	8,443,325	4,502	20	-59.3	211.3
CH43650-11	785,800	8,443,649	4,514	180	-59.2	181.8
CH43650-12	785,850	8,443,650	4,530	180	-69.9	273.3
CHS18-023	785,797	8,443,403	4,458	138.7	-65.6	500.8
CHS18-028	785,798	8,443,404	4,459	24.9	-65.5	413.6
CHS18-034	785,797	8,443,403	4,458	218.7	-65.2	600
CHS18-040	785,548	8,443,364	4,430	140.2	-60.4	497.1
CHS18-045	785,550	8,443,363	4,429	0.7	-59.9	400.4
CHS18-049	786,063	8,443,189	4,465	290	-60.6	502.6
CHS18-050	785,797	8,443,399	4,458	315.5	-60.5	545
CHS19-003	785,905	8,443,263	4,501	290	-75	64.7
CHS19-004	785,905	8,443,262	4,501	290	-75.1	450
CHS19-006	785,749	8,442,979	4,436	138.9	-64.9	286.6
CHS19-011	786,064	8,443,194	4,464	348.2	-65.1	529.6
CHS19-012	785,668	8,443,308	4,443	159.7	-60.4	509.6
CHS19-016	785,695	8,442,881	4,435	340	-65.5	500
CHS19-019	785,746	8,442,983	4,435	309.6	-60.4	352.4
CHS19-020	785,553	8,443,371	4,429	50	-65	189.6
CHS19-022	785,943	8,443,325	4,502	190	-60	235.4
CHS19-024	785,694	8,442,880	4,447	180	-60	36.4
CHS19-025	786,063	8,443,188	4,481	59.2	-60	400

Data aggregation methods – Downhole sample intervals were aggregated for reporting purposes using a compositing tool in Vulcan mining software. The tool searches for intervals above a cut-off grade (0.2% Cu in this case) and combines them to achieve a minimum thickness of 20m. 20m downhole in an angled drillhole approximates the vertical bench height of 15m currently in use at Las Bambas.

– No metal equivalents were used in the Mineral Resources estimation.

Relationship between mineralisation width and intercept lengths – In the Chalcobamba Southwest mineralisation zone, the geometry of the geology is not well understood yet and therefore the true thicknesses are uncertain at this stage.

– All intervals reported are downhole widths.

Diagrams – Refer to maps and cross sections in the text of this report.

Balanced reporting – The complete list of drillhole interval assays in the Chalcobamba Southwest mineralisation zone are provided below.

Other substantive exploration data – Over the past 3 years, several orebody knowledge studies have been carried out including skarn zonation, vein densities and a large age dating program. Results from these studies are assisting with improving the understanding of the orebodies. Studies on clay and talc mapping are also ongoing.

– Ground gravity, IP and magnetometry are performed routinely on all exploration projects. Aerial magnetometry, radiometric and EM surveys have been flown.

– Surface mapping, rock chip sampling and soil grid geochemistry are performed routinely on all exploration projects.

Further work – An ongoing program of regional and deposit scale mapping, cross sectional studies, infrared spectral analyses, isotopic and petrographic studies and soil sampling.

– A program of exploration assessment and targeting is currently underway to identify exploration options for the Las Bambas leases.

– Permitting for regional exploration drilling is underway.

ASSESSMENT CRITERIA	COMMENTARY
------------------------	------------

SECTION 2 REPORTING OF EXPLORATION RESULTS⁵

– Ongoing infill programs are planned to increase deposit confidence.

Table 2 – Summary of Significant Downhole Intercepts, Las Bambas, Chalcobamba Southwest Zone.
Note: NSI = no significant intersection.

Hole ID	From (m)	To (m)	Length (m)	Cu (%)	Au (g/t)	Mo ppm	Ag (g/t)
CH43200-2	2.5	72.1	69.6	0.49	0.02	172	1.1
CH43200-3	46	77.5	31.5	0.26	0.03	184	0.8
	83.2	196	112.8	0.24	0.02	136	0.6
CH43325-1	12.4	59.4	47	0.75	0.03	7	3.5
CH43650-11	147.5	167.5	20	0.55	0.02	88	1.7
CH43650-12	11	42.9	31.9	0.46	0.02	5	2
	106.9	141.3	34.4	1.47	0.07	10	6.9
	160.8	181.1	20.4	0.46	0.02	14	2.1
CHS18-023	46.2	90.6	44.4	1.21	0.05	20	3.5
	301	321	20	0.27	0.01	291	0.9
	354.5	382.8	28.3	0.29	0.01	304	0.8
	397.7	435.1	37.4	0.26	0.01	228	0.7
	454.6	492	37.4	0.23	0.01	246	0.6
CHS18-028	99.5	119.7	20.2	0.82	0.04	18	4
	278.2	338.5	60.3	0.31	0.01	89	1.2
CHS18-034	34.7	54.7	20	0.22	0.01	8	0.7
	82.6	102.8	20.2	0.22	0.01	21	0.7
	381.5	401.5	20	0.51	0.01	4	1.2
	535.6	571.3	35.7	0.46	0.01	164	1.9
CHS18-040	83.5	116.7	33.2	0.38	0.02	8	1.4
	133.1	153.1	20	0.25	0.03	127	1.1
	206.9	226.9	20	1.2	0.06	26	4.4
	411.7	439.9	28.3	0.91	0.05	72	3.4
	461.9	497.1	35.2	0.27	0.01	417	1.3
CHS18-045	NSI						
CHS18-049	0.9	382.1	381.2	0.37	0.01	263	1
	397.5	423.9	26.4	0.23	0.01	141	0.6
	426.1	472.3	46.2	0.28	0.01	225	0.7
CHS18-050	30.9	50.9	20	0.47	0.05	6	1.7
	86.4	106.4	20	0.21	0.01	4	1.2
	122.8	156.7	33.9	0.66	0.02	12	2.1
CHS19-003	NSI						
CHS19-004	20	41	21	0.8	0.04	24	3.4
	48	68	20	0.27	0.01	5	1.1
	128	148	20	0.42	0.02	9	1.5
	201	260.5	59.5	1.01	0.06	17	3.9
	278	298	20	0.23	0.01	289	0.8
CHS19-006	NSI						

CHS19-011	0	35.7	35.7	0.44	0.02	125	1.1
	49.9	153	103.1	0.54	0.02	299	1.5
	259	279	20	0.25	0.01	116	0.8
	289.5	309.5	20	0.23	0.01	86	0.7
	333.8	371	37.2	0.25	0.01	77	0.5
	391	411	20	0.26	0.01	78	0.5
	423	447	24	0.38	0.01	63	0.7
	463	490	27	0.23	0.01	67	0.5
CHS19-012	24.8	44.8	20	0.38	0.02	144	1.2
	107	233.8	126.8	1.39	0.04	7	4.7
	282	325.7	43.7	0.34	0.01	560	1.8
CHS19-016	NSI						

JORC 2012 TABLE 1 – NAMBULWA EXPLORATION ACTIVITIES

CRITERIA	COMMENTARY
SECTION 1 SAMPLING TECHNIQUES AND DATA	
Sampling techniques	<ul style="list-style-type: none"> – A combination of reverse circulation drilling (RC), diamond drilling (DD), and air core drilling (AC) were completed in the Project area. – Mineralised zones within the drill core were identified based on combined parameters, including lithological and alteration logging, mineralogical logging and systematic spot pXRF readings. DD core was sampled nominally at 1m intervals within mineralised zones while unmineralised zones were sampled at up to 2-4m intervals. Sampling was carried out by longitudinally cutting PQ and HQ drill core using an Almonte automatic diamond saw and sampling half-core, with half-core retained for future reference. PQ drill core was quartered and sampled. Three-quarters of the core was retained for future reference. – RC drill cuttings were collected in 1m bulk samples from a rig mounted cyclone. Lithological and mineralogical logging, supported by systematic spot pXRF readings, were used to identify mineralised and unmineralised zones in the RC chips. Samples from mineralized zones were riffle split every 1m to obtain a representative (~2.5kg) sample. Samples from unmineralised zones were riffle split and composited to 2m intervals. Wet samples were dried in ambient air before splitting and compositing. – AC drill cuttings were collected in 1m bulk samples from a rig mounted cyclone. Samples from zones of mineralisation were riffle split to obtain a representative (~2.5kg sample). Samples from visually unmineralised, lithologically similar zones were riffle split and composited to 3m sample intervals (~2.5kg weight). Wet samples were dried in ambient air before splitting and compositing. – Overall, 54% of the samples were less than 2m, with mineralised samples taken at nominal 1m intervals. – Samples were crushed, split and pulverised (>85% passing 75 µm) at an onsite ALS laboratory at the MMG core yard facility in Lubumbashi. 100 grams of pulp material was sent to the SANAS accredited ALS Laboratories in Johannesburg. – The sample types, nature, quality and sample preparation techniques are considered appropriate for the nature of mineralisation within the Project (sediment hosted base metal mineralisation) by the Competent Person.
Drilling techniques	<ul style="list-style-type: none"> – Diamond drilling: PQ and HQ sizes, with triple tube to maximise recovery. At the end of each drilling run the core was marked with an orientation mark by using a REFLEX ACE tool. An orientation line was then drawn along the axis of the core if two consecutive orientations marks could be aligned by docking core pieces. – Aircore drilling: A blade bit was used for drilling a 3.23-inch (82mm) hole. The cyclone was manually cleaned at the start of each shift, after any wet samples, and after each hole. Compressed air from the drilling machine was used to clean/blow out material from the AC rods, hoses, and cyclone after each rod. – Reverse circulation drilling: A hammer bit was used for drilling a 5.25-inch (133mm) diameter hole. The cyclone was manually cleaned at the start of each shift, after any wet samples, and after each hole. Compressed air from the drilling machine was used to clean/blow out material from the RC rods, hoses, and cyclone after each rod.
Drill sample recovery	<ul style="list-style-type: none"> – Overall DD core recovery averaged 83% across the Project area. As expected, the recovery dropped in unconsolidated/highly weathered ground. Below 50m, core recovery averaged 85%, and below 100m, core recovery averaged 89%. – Actual vs. recovered drilling lengths were captured by the driller and an onsite rig technician using a tape measure. Measured accuracy was down to 1cm. The core recoveries were calculated during the database exports. – Sample recovery during diamond drilling was maximised using the following methods: <ul style="list-style-type: none"> ○ Short drill runs (~50cm) ○ Using drilling additives, muds and chemicals to improve broken ground conditions.

CRITERIA	COMMENTARY
SECTION 1 SAMPLING TECHNIQUES AND DATA	
	<ul style="list-style-type: none"> ○ Using the triple tube methodology in the core barrel. ○ Reducing water pressure to prevent washout of friable material – Drilling rates varied depending on the actual and forecast ground conditions – Core loss was recorded through the core and assigned to intersections where visible loss occurred. Cavities were noted. – Bias due to core loss has not been determined. – RC and AC cuttings recovery was measured by weighing each 1m sample bag immediately following collection from the cyclone. – Sample returns for RC and AC drilling have been calculated at 62% and 63% respectively. – Sample recovery during RC drilling was maximized using the following methods: <ul style="list-style-type: none"> ○ Adjusting air pressures to the prevailing ground condition. ○ Using new hammer bits and replacing when showing signs of wear.
Logging	<ul style="list-style-type: none"> – All drill samples (DD core, RC chips and AC chips) were geologically logged using a GeoBank® Mobile interface and uploaded to a Geobank® database. – Qualitative logging includes lithology, mineralisation type, oxidation type, weathering type, colour and alteration types. Quantitative logging includes mineralisation mineral percentage, alteration mineral percentage and in the case of core, RQD and structural data have been recorded. – All the core and chip samples were photographed both wet and dry. – 100% of core and chips have been logged with the above information.
Sub-sampling techniques and sample preparation	<ul style="list-style-type: none"> – DD core was split in half longitudinally (HQ size) or quartered (PQ size) using an Almonte automatic diamond saw. – Sample lengths were cut as close to nominal 1m intervals as possible while also respecting geological contacts. Samples were generally ~2.5kg in weight. – RC and AC samples were collected from a cyclone every metre by a trained driller's assistant. If the sample was dry the sample was passed through a riffle splitter and a ~2.5kg split was collected into a pre-numbered calico bag. Residual material was sampled and sieved for collection into chip trays for logging and the remainder returned to the larger poly-weave bag (bulk reject). The splitter was cleaned using compressed air or a clean brush and tapped using a rubber mallet. If the sample was wet, the sample was air dried before being split according to the above procedure. – For RC and AC methods, field duplicates were inserted at a rate of approximately 5% to ensure sampling precision was measured. – Samples from individual drillholes were sent in a single dispatch to the onsite ALS laboratory at the MMG core yard facility in Lubumbashi. – Samples were received, recorded on the sample sheet, weighed, and dried at 120°C for 4 to 8 hours (or more) depending on dampness at the sample preparation laboratory. – Samples were crushed and homogenised in a jaw crusher to >70% passing 2mm. The jaw crusher was cleaned with a barren quartz blank after every crushed sample. – The sample size was reduced to 1000g in a riffle splitter and pulverised in an LM2 pulveriser to >85% passing 75 micron. QC grind checks were carried out using wet sieving at 75 micron on 1 in 10 samples. – 100 grams of pulp material were sent to the SANAS accredited ALS Laboratories in Johannesburg. – Crush and pulp duplicates were submitted for QAQC purposes. – Certified reference material (high, medium, and low copper grades) were also inserted and submitted to ALS for analysis at a rate of 3 per 30 samples. – The sample size is appropriate for the grain size and distribution of the minerals of interest.
Quality of assay data and laboratory tests	<ul style="list-style-type: none"> – All samples were sent to ALS Chemex Laboratory in Johannesburg – Samples were analysed using a 4-acid digest with ICP MS finish. 48 elements were analysed in total. – Acid soluble copper assays were only performed when the total copper assay was greater than 1,000 ppm. – ~15% QAQC samples were incorporated, including blanks, duplicates (field, crush, and pulp) and certified

CRITERIA	COMMENTARY
SECTION 1 SAMPLING TECHNIQUES AND DATA	
	<ul style="list-style-type: none"> reference material per sample analysis batch. – QAQC data has been interrogated with no significant biases or precision issues. – No geophysical tools, spectrometers, or portable XRF instruments have been used for estimation purposes.
Verification of sampling and assaying	<ul style="list-style-type: none"> – Significant intersections have been reviewed by competent MMG employees. – No twin drilling was completed. – Data are stored in a SQL database with a Geobank® interface. – No adjustments to assay data were made.
Location of data points	<ul style="list-style-type: none"> – Planned collar positions for both diamond drilling and RC drilling were located using handheld GPS devices to ±5m accuracy. – Post drilling, actual collar positions were surveyed using DGPS (Geomax Zenith 25 Pro and Topcon Hiper II) and are of high accuracy. – Grid system is in WGS84/UTM35S – Topographic control was by a detailed aerial drone survey. – The TN14 GYROCOMPASS™ was used to align the drill rig to the correct azimuth and dip angles. – Downhole surveys were done using the REFLEX EZ-TRAC survey instrument. Downhole surveys were not carried out on RC & AC drillholes.
Data spacing and distribution	<ul style="list-style-type: none"> – Drill spacing is variable between prospects. Average drillhole data are spaced at ~50 to 100m between drill sections. Holes on sections are spaced at ~25-50m apart. – 2m or 4m composites were taken in zones of no visual mineralisation (3m composites for AC drilling) – Nominal 1m samples were taken in zones of mineralisation. – No other sample compositing has occurred.
Orientation of data in relation to geological structure	<ul style="list-style-type: none"> – DD and RC drillholes were predominantly drilled with dips of between 45° and 60° to intersect generally steeply dipping mineralisation. Drilling azimuths were as close as practical to orthogonal to the mineralised trend. The AC drillholes were drilled vertically. – In the view of the Competent Person, no bias has been introduced by the drilling direction.
Sample security	<ul style="list-style-type: none"> – Samples were transported from the field and delivered to the sample processing facility in Lubumbashi for cutting and preparation. A single cab pick-up was used for the transport. Polyethylene foam, tarpaulins, and cargo nets were used to secure the load and to avoid possible shifting of core during transport. – RC chip sampling was conducted in the field. Chip samples were packed in a labelled plastic bag along with a labelled plastic ID tag. – The plastic bag was tied with cable ties to secure the sample and to prevent contamination. – A set of 15 plastic sample bags were packed into labelled poly-weave bags, ready to be shipped from the field to the sample preparation laboratory in Lubumbashi. – Field packing documents and sample sheets were prepared and sent together with the core trays and poly-weave bags to the sample preparation laboratory in Lubumbashi. – After sample preparation, bar-coded envelopes of 100-200g of pulp for each sample were inserted into boxes of ~40 envelopes each, labelled with dispatch ID and laboratory destination to be sent by DHL courier to ALS Chemex in Johannesburg. – Two sets of duplicate pulps of 100-200g were inserted into labelled boxes of ~40 envelopes each to be stored on site in storage containers. – The shipment of pulps from Lubumbashi to ALS laboratories was done using DHL Courier services with waybill number for tracking. – The Lubumbashi sample preparation laboratory utilizes the ALS-Chemex LIM System installed at Kinsevere mine site, generating a unique lab workorder for each batch sample in the analytical chain.
Audit and reviews	<ul style="list-style-type: none"> – No external audits or reviews of sampling techniques and data have been conducted.

CRITERIA	COMMENTARY
SECTION 2 REPORTING OF EXPLORATION RESULTS	
Mineral tenement and land tenure status	– The Nambulwa Project is located within lease PE539 (100% Gecamines) in the DRC. The lease was acquired by MMG as part of the Kinsevere Amodiation agreement with Gecamines. The tenement is valid through to April 3, 2024.
Exploration done by other parties	<ul style="list-style-type: none"> – Union Miniere (UMHK) explored the Nambulwa Project during the 1920s. UMHK conducted trenching, pitting and tunnelling, mainly at Nambulwa Main. – Gecamines explored the Nambulwa Project during the 1990s. Work completed included mapping, pitting, and limited drilling at Nambulwa Main. – Anvil Mining explored the Nambulwa Project between September and December 2007 and was the first company to effectively define a resource. Anvil's initial phase of exploration included geological mapping, termite mound sampling, AC drilling (11,830m), RC drilling (6,268m), and DD drilling (668m) focussed on PE539 and the surrounding tenements. An unclassified resource of 1.1Mt of ore @ 3.3% Cu or 35,000 t of copper metal was estimated for Nambulwa Main.
Geology	<ul style="list-style-type: none"> – Stratiform sedimentary hosted copper and cobalt. – Mineralisation is hosted by the Neoproterozoic Katanga Supergroup within the R2 (Mines Series), R3 (Kansuki Fm), and R4 (Mwashya Fm) stratigraphy. – Copper mineralisation is both lithologically and structurally controlled and occurs mainly as veins and disseminations in dolomitic units, carbonaceous shale, and massive to laminated dolomite. – Oxide Cu is hosted mainly in the dolomitic units, whereas sulphides (chalcocite, digenite) are hosted in the black shale unit. Oxide copper mineralogy includes malachite and other black-oxides and they are sometimes associated with elevated Co mineralisation. Sulphide (chalcocite ± chalcopyrite-bornite) mineralisation is found in deeper levels of the deposits.
Drill hole information	– A complete listing of all drillhole information on the Nambulwa Project is provided in this release.
Data aggregation methods	– Significant intersections were reported at 0.5% Cu (total) lower cut-off at a minimum width of 3m with up to 3m internal dilution permitted. Copper equivalents were not used in the reporting of exploration results.
Relationship between mineralisation width and intercept lengths	– All results are reported in drilled lengths and should not be considered as true widths of the mineralised zones.
Diagrams	– Refer to maps and cross sections in the text of this report.
Balanced reporting	– The table below illustrates the top twenty drill intercepts based on copper-grade-times-thickness measurement from the Nambulwa Main (NAM) and DZ prospects. Hole locations are shown on the maps in the preceding section.

CRITERIA	COMMENTARY
----------	------------

SECTION 2 REPORTING OF EXPLORATION RESULTS

Prospect	Hole ID	E	N	RL	EOH	Type	Dip	Azimuth	Depth_From	Cu_Intercept
DZ	NAMDD060	555831	8767962	1229	219.9	DD	-49.7	72	99.0	54.0m @ 4.10 % Cu
DZ	NAMRC013	555847	8767962	1229	140	RC	-45	72.7	64.0	75.0m @ 2.12 % Cu
DZ	NAMAC047	555892	8768045	1226	31	AC	-90	0	12.0	19.0m @ 6.28 % Cu
DZ	NAMDD065	555830	8767912	1230	209.4	DD	-50.4	72.8	105.4	50.5m @ 2.13 % Cu
NAM	NAMDD034	556756	8768412	1239	96.9	DD	-55	40.7	45.0	29.0m @ 3.67 % Cu
NAM	NAMDD042	557007	8768240	1240	89.4	DD	-53.9	42.1	30.0	14.4m @ 6.96 % Cu
NAM	NAMDD008	556864	8768303	1243	98.5	DD	-55.8	45.5	30.5	26.5m @ 3.41 % Cu
DZ	NAMDD076	556269	8768444	1221	163	DD	-50	177.7	24.0	24.2m @ 3.33 % Cu
DZ	NAMRC010	555855	8767919	1230	150	RC	-45	72.7	110.0	40.0m @ 1.72 % Cu
NAM	NAMDD041	556829	8768342	1246	93.1	DD	-49.4	44.5	24.0	38.6m @ 1.58 % Cu
NAM	NAMDD052	556909	8768343	1257	87.9	DD	-45.3	220.7	36.0	25.4m @ 2.22 % Cu
DZ	NAMRC010	555855	8767919	1230	150	RC	-45	72.7	88.0	17.0m @ 3.24 % Cu
NAM	NAMDD037	556560	8768687	1232	69.6	DD	-45	41.2	38.0	13.0m @ 4.19 % Cu
NAM	NAMDD050	557031	8768278	1245	78.4	DD	-60	222.7	48.9	14.5m @ 3.24 % Cu
NAM	NAMDD010	556948	8768255	1239	138.8	DD	-48.3	42.2	36.0	21.0m @ 2.08 % Cu
NAM	NAMDD053	556846	8768405	1268	89.7	DD	-49.6	220.9	29.0	24.5m @ 1.57 % Cu
NAM	NAMDD044	556969	8768272	1238	98.4	DD	-50.9	42.7	14.9	10.0m @ 3.68 % Cu
DZ	NAMDD061	555877	8768048	1226	136.5	DD	-49.7	110	13.0	9.0m @ 3.98 % Cu
NAM	NAMDD022	557072	8768093	1242	168.9	DD	-54.8	37.5	128.3	21.7m @ 1.64 % Cu
DZ	NAMDD063A	555844	8768063	1227	176.5	DD	-50.3	110	28.0	4.0m @ 8.36 % Cu

- The table below illustrates the bottom twenty drill intercepts from the Nambulwa Main (NAM) and DZ prospects. No significant mineralisation (NSA) intersected (all <0.5% Cu or <3.0m). Hole locations are shown on the maps in the following section.

Prospect	Hole ID	E	N	RL	EOH	Type	Dip	Azimuth	Depth_From	Cu_Intercept
DZ	NAMDD024	555891	8767877	1231	95.3	DD	-49.8	73.5	-	NSA
NAM	NAMDD027	556942	8768391	1250	120.9	DD	-55	224.2	-	NSA
NAM	NAMDD030	556588	8768650	1233	125.4	DD	-44	41.8	-	NSA
NAM	NAMDD032	556715	8768494	1237	130.1	DD	-53.2	43.6	-	NSA
NAM	NAMDD040	556983	8768208	1240	110.4	DD	-55.2	45.7	-	NSA
NAM	NAMDD045	557278	8768047	1260	89.1	DD	-55.3	130	-	NSA
NAM	NAMDD046	557231	8768084	1252	99.9	DD	-55.4	132.9	-	NSA
NAM	NAMDD055	557075	8768096	1242	121	DD	-75.6	38.5	-	NSA
NAM	NAMDD056	557160	8767607	1251	96.5	DD	-50.3	245.1	-	NSA
NAM	NAMDD057	557274	8767656	1253	158.6	DD	-50.7	248.3	-	NSA
NAM	NAMDD058	557069	8768674	1237	162.6	DD	-51.6	59.8	-	NSA
NAM	NAMDD059	557026	8768648	1237	100	DD	-51.4	60.4	-	NSA
DZ	NAMDD062	555887	8768126	1224	188.95	DD	-49.7	109.6	-	NSA
DZ	NAMDD066	555929	8768201	1223	151.9	DD	-50.1	109.6	-	NSA
DZ	NAMDD067	556083	8768256	1218	154.5	DD	-50.1	289.6	-	NSA
DZ	NAMDD069	556674	8768417	1233	205.5	DD	-50	188.7	-	NSA
DZ	NAMDD071	555872	8767767	1232	257.5	DD	-55	72.1	-	NSA
DZ	NAMDD072	556672	8768355	1233	137	DD	-50	188.7	-	NSA
DZ	NAMDD073	556369	8768470	1223	208.5	DD	-50	177.7	-	NSA
DZ	NAMDD078	556169	8768432	1217	178.9	DD	-50	180	-	NSA

- A complete listing of all drillhole information on the Nambulwa Project is provided in this release.

Other substantive exploration data

- Airborne Geophysics: TEMPEST survey, Airborne EM, magnetics, and radiometric were flown at the end of 2013. 3D inversion of the EM data identified a prominent conductor body over the western, central and eastern section of the Project.
- Geological mapping was conducted in 2014 and 2017. Mapping results outlined the presence of the

CRITERIA	COMMENTARY
SECTION 2 REPORTING OF EXPLORATION RESULTS	
	<p>geologically prospective rock units that are the main host rock to the mineralisation. Younger lithologies were also noted from the Nguba and Kundelungu Formations.</p> <ul style="list-style-type: none"> – Surface geochemistry: Termite mound sampling on 100m x 100m grid was completed in 2014, which effectively identified copper anomalous zones within the tenement. Additional geochemical surveys include 50m x 50m soil sampling conducted in 2017. – Airborne Geophysics: Xcalibur survey, flown in 2015. – Magnetics: effective at mapping structural and stratigraphic domains. – Radiometrics: effective at mapping lithological contrasts and regolith domains. – Ground IP and AMT survey: helped in mapping the conductive and resistive bodies at depth.
Further work	<ul style="list-style-type: none"> – Further exploration activities are planned for the 2020 exploration season: <ul style="list-style-type: none"> ○ Infill drilling to improve confidence levels of resource estimations. ○ Metallurgical testwork on drill core and bulk samples to ascertain milling and processing characteristics. ○ Geotechnical drilling to assess pit wall characteristics for mine planning. ○ Preliminary economic assessment to evaluate economic viability.

Table 2: Complete tabulation of all drilling results from the Nambulwa and DZ prospects.

All significant intercepts are reported based on a 0.5% Total Cu lower cut-off at a minimum width of 3m with up to 3m internal dilution permitted.

Copper equivalents were not used in the reporting of exploration results. NSA = No Significant Assays (<0.5% Cu or <3m interval length).

Prospect	Hole ID	E	N	RL	EOH	Type	Dip	Azimuth	Depth From	Cu Intercept
DZ	NAMDD060	555831	8767962	1229	219.9	DD	-49.7	72	99.0	54.0m @ 4.10 % Cu
DZ	NAMRC013	555847	8767962	1229	140	RC	-45	72.7	64.0	75.0m @ 2.12 % Cu
DZ	NAMAC047	555892	8768045	1226	31	AC	-90	0	12.0	19.0m @ 6.28 % Cu
DZ	NAMDD065	555830	8767912	1230	209.4	DD	-50.4	72.8	105.4	50.5m @ 2.13 % Cu
NAM	NAMDD034	556756	8768412	1239	96.9	DD	-55	40.7	45.0	29.0m @ 3.67 % Cu
NAM	NAMDD042	557007	8768240	1240	89.4	DD	-53.9	42.1	30.0	14.4m @ 6.96 % Cu
NAM	NAMDD008	556864	8768303	1243	98.5	DD	-55.8	45.5	30.5	26.5m @ 3.41 % Cu
DZ	NAMDD076	556269	8768444	1221	163	DD	-50	177.7	24.0	24.2m @ 3.33 % Cu
DZ	NAMRC010	555855	8767919	1230	150	RC	-45	72.7	110.0	40.0m @ 1.72 % Cu
NAM	NAMDD041	556829	8768342	1246	93.1	DD	-49.4	44.5	24.0	38.6m @ 1.58 % Cu
NAM	NAMDD052	556909	8768343	1257	87.9	DD	-45.3	220.7	36.0	25.4m @ 2.22 % Cu
DZ	NAMRC010	555855	8767919	1230	150	RC	-45	72.7	88.0	17.0m @ 3.24 % Cu
NAM	NAMDD037	556560	8768687	1232	69.6	DD	-45	41.2	38.0	13.0m @ 4.19 % Cu
NAM	NAMDD050	557031	8768278	1245	78.4	DD	-60	222.7	48.9	14.5m @ 3.24 % Cu
NAM	NAMDD010	556948	8768255	1239	138.8	DD	-48.3	42.2	36.0	21.0m @ 2.08 % Cu
NAM	NAMDD053	556846	8768405	1268	89.7	DD	-49.6	220.9	29.0	24.5m @ 1.57 % Cu
NAM	NAMDD044	556969	8768272	1238	98.4	DD	-50.9	42.7	14.9	10.0m @ 3.68 % Cu
DZ	NAMDD061	555877	8768048	1226	136.5	DD	-49.7	110	13.0	9.0m @ 3.98 % Cu
NAM	NAMDD022	557072	8768093	1242	168.9	DD	-54.8	37.5	128.3	21.7m @ 1.64 % Cu
DZ	NAMDD063A	555844	8768063	1227	176.5	DD	-50.3	110	28.0	4.0m @ 8.36 % Cu
NAM	NAMDD051B	557230	8767953	1261	36.6	DD	-55.5	125.1	24.6	12.0m @ 2.68 % Cu
NAM	NAMDD006	556791	8768371	1242	178.2	DD	-49.5	43.5	47.2	16.0m @ 1.90 % Cu
DZ	NAMAC042	555902	8767982	1226	26	AC	-90	0	9.0	17.0m @ 1.78 % Cu
DZ	NAMRC012	555885	8767975	1228	130	RC	-55	72.7	53.0	17.0m @ 1.73 % Cu
DZ	NAMRC009	555890	8767927	1229	150	RC	-45	72.7	48.0	32.0m @ 0.87 % Cu
NAM	NAMDD038	556887	8768276	1239	78.9	DD	-55.1	42.4	49.0	5.0m @ 5.37 % Cu
NAM	NAMDD047	557248	8768004	1262	99.9	DD	-55.1	128.7	31.0	21.0m @ 1.22 % Cu
NAM	NAMDD051	557228	8767950	1261	72.6	DD	-55	121.8	32.6	12.4m @ 2.00 % Cu
NAM	NAMDD043B	556923	8768295	1247	75.1	DD	-56.8	43.9	32.0	8.0m @ 2.91 % Cu
DZ	NAMRC002	555916	8767776	1232	90	RC	-55	72.7	48.0	15.0m @ 1.41 % Cu
DZ	NAMAC031	555922	8767945	1228	29	AC	-90	0	4.0	12.0m @ 1.69 % Cu

Prospect	Hole ID	E	N	RL	EOH	Type	Dip	Azimuth	Depth From	Cu Intercept
NAM	NAMDD001	556741	8768453	1238	86.5	DD	-54.1	51.6	51.5	9.0m @ 2.20 % Cu
DZ	NAMRC012	555885	8767975	1228	130	RC	-55	72.7	38.0	11.0m @ 1.62 % Cu
DZ	NAMDD083	555800	8767948	1230	257.5	DD	-50	73	149.0	11.0m @ 1.54 % Cu
NAM	NAMDD026	556532	8768821	1236	96.9	DD	-54.5	45.5	27.9	11.0m @ 1.46 % Cu
NAM	NAMDD048	557205	8768034	1252	92.4	DD	-55.5	128.1	50.0	17.0m @ 0.94 % Cu
NAM	NAMDD054	556870	8768378	1266	93.8	DD	-45.2	220.6	30.3	12.5m @ 1.26 % Cu
DZ	NAMDD064A	555921	8768108	1224	106	DD	-49.8	109.6	49.0	8.0m @ 1.78 % Cu
NAM	NAMDD031	556571	8768630	1232	125.4	DD	-45.4	45	73.4	13.0m @ 1.08 % Cu
NAM	NAMDD026	556532	8768821	1236	96.9	DD	-54.5	45.5	9.9	12.0m @ 1.15 % Cu
NAM	NAMDD053	556846	8768405	1268	89.7	DD	-49.6	220.9	63.7	6.3m @ 2.11 % Cu
NAM	NAMDD029	556733	8768516	1239	118	DD	-54.6	41.6	25.0	4.0m @ 3.32 % Cu
NAM	NAMDD049	557180	8767988	1251	80.4	DD	-55.4	118.7	44.4	9.0m @ 1.47 % Cu
NAM	NAMDD033	556776	8768427	1243	81.9	DD	-55.9	39.9	25.9	6.5m @ 1.98 % Cu
NAM	NAMDD025	557144	8768015	1246	150.8	DD	-54.7	44.5	100.0	7.0m @ 1.82 % Cu
DZ	NAMDD076	556269	8768444	1221	163	DD	-50	177.7	7.0	11.0m @ 1.02 % Cu
NAM	NAMDD028	556497	8768782	1230	136	DD	-50	40.4	87.4	7.0m @ 1.52 % Cu
DZ	NAMDD068	555858	8767868	1230	189.6	DD	-50.3	70.8	83.9	16.0m @ 0.66 % Cu
NAM	NAMDD043B	556923	8768295	1247	75.1	DD	-56.8	43.9	17.1	9.9m @ 0.99 % Cu
DZ	NAMRC012	555885	8767975	1228	130	RC	-55	72.7	23.0	11.0m @ 0.89 % Cu
NAM	NAMDD026	556532	8768821	1236	96.9	DD	-54.5	45.5	44.9	5.0m @ 1.91 % Cu
NAM	NAMDD043B	556923	8768295	1247	75.1	DD	-56.8	43.9	46.0	12.0m @ 0.79 % Cu
DZ	NAMDD077	555788	8767902	1230	255	DD	-49.7	72.4	76.0	8.0m @ 1.18 % Cu
DZ	NAMDD087	555920	8767887	1231	155.5	DD	-50	73	23.0	4.0m @ 2.35 % Cu
NAM	NAMDD054	556870	8768378	1266	93.8	DD	-45.2	220.6	46.0	12.0m @ 0.77 % Cu
NAM	NAMDD035	556688	8768551	1235	90.8	DD	-42.8	43.1	55.0	4.0m @ 2.23 % Cu
DZ	NAMDD079	556268	8768486	1221	146.5	DD	-50	180	111.0	5.0m @ 1.69 % Cu
DZ	NAMAC031	555922	8767945	1228	29	AC	-90	0	21.0	8.0m @ 1.01 % Cu
NAM	NAMDD020	556558	8768704	1232	97.9	DD	-55.4	47.3	56.0	5.5m @ 1.42 % Cu
DZ	NAMDD018	555974	8767841	1228	101.5	DD	-55	252.7	52.0	6.0m @ 1.30 % Cu
DZ	NAMDD074	555844	8767814	1231	217	DD	-55	74.7	173.0	10.0m @ 0.73 % Cu
DZ	NAMAC048	555910	8768037	1226	10	AC	-90	0	0.0	3.0m @ 2.41 % Cu
DZ	NAMDD061	555877	8768048	1226	136.5	DD	-49.7	110	73.0	6.0m @ 1.20 % Cu
DZ	NAMDD077	555788	8767902	1230	255	DD	-49.7	72.4	200.0	4.9m @ 1.46 % Cu
NAM	NAMDD038	556887	8768276	1239	78.9	DD	-55.1	42.4	37.0	6.0m @ 1.12 % Cu
NAM	NAMDD011	557040	8768191	1241	122.4	DD	-55.7	45.4	58.0	5.0m @ 1.29 % Cu

Prospect	Hole ID	E	N	RL	EOH	Type	Dip	Azimuth	Depth From	Cu Intercept
DZ	NAMRC005	555910	8767726	1232	140	RC	-45	72.7	60.0	8.0m @ 0.79 % Cu
DZ	NAMDD083	555800	8767948	1230	257.5	DD	-50	73	71.0	3.0m @ 2.10 % Cu
DZ	NAMDD070	555898	8768212	1223	187.5	DD	-50.4	112.3	115.0	7.0m @ 0.86 % Cu
DZ	NAMAC033	555975	8767956	1225	42	AC	-90	0	39.0	3.0m @ 2.00 % Cu
DZ	NAMDD084	555880	8767711	1232	261.5	DD	-50	72	39.0	9.0m @ 0.65 % Cu
DZ	NAMRC010	555855	8767919	1230	150	RC	-45	72.7	57.0	8.0m @ 0.71 % Cu
NAM	NAMDD016	557166	8768042	1248	125.5	DD	-54.5	40.5	96.0	6.0m @ 0.94 % Cu
DZ	NAMRC005	555910	8767726	1232	140	RC	-45	72.7	107.0	5.0m @ 1.11 % Cu
NAM	NAMDD039	556527	8768736	1231	102.5	DD	-44.9	44.3	78.0	5.0m @ 1.10 % Cu
NAM	NAMDD006	556791	8768371	1242	178.2	DD	-49.5	43.5	122.2	5.0m @ 1.09 % Cu
DZ	NAMRC009	555890	8767927	1229	150	RC	-45	72.7	36.0	6.0m @ 0.88 % Cu
DZ	NAMDD090	555842	8768008	1228	185.5	DD	-55	82	25.0	4.0m @ 1.29 % Cu
NAM	NAMDD052	556909	8768343	1257	87.9	DD	-45.3	220.7	65.5	5.5m @ 0.85 % Cu
NAM	NAMDD033	556776	8768427	1243	81.9	DD	-55.9	39.9	36.9	5.1m @ 0.90 % Cu
DZ	NAMRC010	555855	8767919	1230	150	RC	-45	72.7	74.0	6.0m @ 0.76 % Cu
DZ	NAMDD076	556269	8768444	1221	163	DD	-50	177.7	57.0	4.0m @ 1.12 % Cu
DZ	NAMDD084	555880	8767711	1232	261.5	DD	-50	72	54.0	6.0m @ 0.71 % Cu
NAM	NAMDD036	556761	8768473	1241	71.4	DD	-54.5	41.8	32.0	4.9m @ 0.83 % Cu
NAM	NAMDD048	557205	8768034	1252	92.4	DD	-55.5	128.1	73.4	3.1m @ 1.23 % Cu
NAM	NAMDD042	557007	8768240	1240	89.4	DD	-53.9	42.1	58.0	6.0m @ 0.62 % Cu
DZ	NAMAC078	555854	8768009	1227	33	AC	-90	0	20.0	5.0m @ 0.70 % Cu
DZ	NAMDD064A	555921	8768108	1224	106	DD	-49.8	109.6	42.0	3.3m @ 1.06 % Cu
DZ	NAMDD079	556268	8768486	1221	146.5	DD	-50	180	99.0	5.0m @ 0.64 % Cu
DZ	NAMAC012	556268	8768442	1221	13	AC	-90	0	9.0	4.0m @ 0.76 % Cu
NAM	NAMDD052	556909	8768343	1257	87.9	DD	-45.3	220.7	6.0	4.0m @ 0.75 % Cu
DZ	NAMAC043	555919	8767989	1227	29	AC	-90	0	26.0	3.0m @ 0.99 % Cu
NAM	NAMDD020	556558	8768704	1232	97.9	DD	-55.4	47.3	47.0	4.0m @ 0.71 % Cu
NAM	NAMDD017	557065	8768231	1243	93.9	DD	-54.6	44.4	67.0	3.0m @ 0.94 % Cu
NAM	NAMDD012	557098	8768128	1243	178	DD	-55.7	46	109.5	4.0m @ 0.70 % Cu
DZ	NAMDD083	555800	8767948	1230	257.5	DD	-50	73	131.0	4.0m @ 0.65 % Cu
DZ	NAMDD065	555830	8767912	1230	209.4	DD	-50.4	72.8	98.9	3.0m @ 0.86 % Cu
DZ	NAMDD075	556578	8768433	1232	182	DD	-50	188.7	0.0	4.0m @ 0.61 % Cu
DZ	NAMDD077	555788	8767902	1230	255	DD	-49.7	72.4	214.0	4.0m @ 0.60 % Cu
DZ	NAMDD021	555878	8767823	1231	150.85	DD	-55	75	107.0	4.0m @ 0.58 % Cu
DZ	NAMAC001	556292	8768468	1222	47	AC	-90	0	-	NSA

Prospect	Hole ID	E	N	RL	EOH	Type	Dip	Azimuth	Depth From	Cu Intercept
DZ	NAMAC002	556294	8768446	1222	1	AC	-90	0	-	NSA
DZ	NAMAC003	556296	8768409	1222	50	AC	-90	0	-	NSA
DZ	NAMAC004	556295	8768426	1222	38	AC	-90	0	-	NSA
DZ	NAMAC005	556293	8768396	1222	75	AC	-90	0	-	NSA
DZ	NAMAC006	556292	8768386	1222	21	AC	-90	0	-	NSA
DZ	NAMAC007	556294	8768369	1222	31	AC	-90	0	-	NSA
DZ	NAMAC008	556292	8768354	1222	50	AC	-90	0	-	NSA
DZ	NAMAC009	556295	8768329	1221	30	AC	-90	0	-	NSA
DZ	NAMAC010	556265	8768482	1221	50	AC	-90	0	-	NSA
DZ	NAMAC011	556265	8768459	1221	34	AC	-90	0	-	NSA
DZ	NAMAC013	556267	8768418	1221	27	AC	-90	0	-	NSA
DZ	NAMAC014	556270	8768403	1222	39	AC	-90	0	-	NSA
DZ	NAMAC015	556270	8768390	1222	48	AC	-90	0	-	NSA
DZ	NAMAC016	556269	8768371	1222	36	AC	-90	0	-	NSA
DZ	NAMAC017	556272	8768350	1221	50	AC	-90	0	-	NSA
DZ	NAMAC018	556321	8768467	1222	36	AC	-90	0	-	NSA
DZ	NAMAC019	556327	8768443	1222	12	AC	-90	0	-	NSA
DZ	NAMAC020	556244	8768460	1220	15	AC	-90	0	-	NSA
DZ	NAMAC021	556243	8768433	1220	21	AC	-90	0	-	NSA
DZ	NAMAC022	556241	8768414	1220	6	AC	-90	0	-	NSA
DZ	NAMAC023	556241	8768396	1221	12	AC	-90	0	-	NSA
DZ	NAMAC024	556244	8768383	1221	3	AC	-90	0	-	NSA
DZ	NAMAC025	556241	8768368	1221	18	AC	-90	0	-	NSA
DZ	NAMAC026	556241	8768351	1221	14	AC	-90	0	-	NSA
DZ	NAMAC027	555825	8767908	1230	18	AC	-90	0	-	NSA
DZ	NAMAC028	555850	8767920	1229	18	AC	-90	0	-	NSA
DZ	NAMAC029	555873	8767927	1229	12	AC	-90	0	-	NSA
DZ	NAMAC030	555902	8767937	1229	6	AC	-90	0	-	NSA
DZ	NAMAC032	555945	8767950	1227	11	AC	-90	0	-	NSA
DZ	NAMAC034	555993	8767963	1223	30	AC	-90	0	-	NSA
DZ	NAMAC035	556008	8767960	1223	21	AC	-90	0	-	NSA
DZ	NAMAC036	555876	8767873	1231	11	AC	-90	0	-	NSA
DZ	NAMAC037	555898	8767878	1231	9	AC	-90	0	-	NSA
DZ	NAMAC038	555918	8767884	1231	5	AC	-90	0	-	NSA
DZ	NAMAC039	555936	8767892	1230	3	AC	-90	0	-	NSA

Prospect	Hole ID	E	N	RL	EOH	Type	Dip	Azimuth	Depth From	Cu Intercept
DZ	NAMAC040	555952	8767898	1229	21	AC	-90	0	-	NSA
DZ	NAMAC041	555973	8767903	1227	2	AC	-90	0	-	NSA
DZ	NAMAC044	555871	8768011	1227	50	AC	-90	0	-	NSA
DZ	NAMAC045	555892	8768012	1227	2	AC	-90	0	-	NSA
DZ	NAMAC046	555915	8768017	1226	5	AC	-90	0	-	NSA
DZ	NAMAC049	555922	8768033	1226	4	AC	-90	0	-	NSA
DZ	NAMAC050	555874	8768052	1226	9	AC	-90	0	-	NSA
DZ	NAMAC051	555942	8768026	1225	24	AC	-90	0	-	NSA
DZ	NAMAC052	555926	8768109	1224	8	AC	-90	0	-	NSA
DZ	NAMAC053	555932	8768101	1224	6	AC	-90	0	-	NSA
DZ	NAMAC054	555951	8768099	1223	9	AC	-90	0	-	NSA
DZ	NAMAC055	556214	8768504	1219	6	AC	-90	0	-	NSA
DZ	NAMAC056	556204	8768496	1218	6	AC	-90	0	-	NSA
DZ	NAMAC057	556189	8768479	1218	7	AC	-90	0	-	NSA
DZ	NAMAC058	556184	8768561	1217	7	AC	-90	0	-	NSA
DZ	NAMAC059	556172	8768547	1217	37	AC	-90	0	-	NSA
DZ	NAMAC060	556156	8768523	1216	13	AC	-90	0	-	NSA
DZ	NAMAC061	556324	8768452	1222	50	AC	-90	0	-	NSA
DZ	NAMAC062	556329	8768425	1223	5	AC	-90	0	-	NSA
DZ	NAMAC063	556326	8768401	1223	30	AC	-90	0	-	NSA
DZ	NAMAC064	556330	8768380	1223	11	AC	-90	0	-	NSA
DZ	NAMAC065	556326	8768354	1223	7	AC	-90	0	-	NSA
DZ	NAMAC066	556326	8768432	1222	5	AC	-90	0	-	NSA
DZ	NAMAC067	556294	8768437	1222	1	AC	-90	0	-	NSA
DZ	NAMAC068	556211	8768422	1218	15	AC	-90	0	-	NSA
DZ	NAMAC069	556209	8768403	1219	5	AC	-90	0	-	NSA
DZ	NAMAC070	556207	8768382	1219	15	AC	-90	0	-	NSA
DZ	NAMAC071	556209	8768362	1219	5	AC	-90	0	-	NSA
DZ	NAMAC072	555786	8767941	1230	5	AC	-90	0	-	NSA
DZ	NAMAC073	555803	8767944	1229	5	AC	-90	0	-	NSA
DZ	NAMAC074	555830	8767945	1229	7	AC	-90	0	-	NSA
DZ	NAMAC075	555848	8767959	1229	8	AC	-90	0	-	NSA
DZ	NAMAC076	555812	8768006	1228	8	AC	-90	0	-	NSA
DZ	NAMAC077	555832	8768006	1228	19	AC	-90	0	-	NSA
DZ	NAMAC079	555865	8767966	1228	24	AC	-90	0	-	NSA

Prospect	Hole ID	E	N	RL	EOH	Type	Dip	Azimuth	Depth From	Cu Intercept
DZ	NAMAC080	555838	8767994	1229	24	AC	-90	0	-	NSA
DZ	NAMAC081	555938	8767994	1229	27	AC	-90	0	-	NSA
NAM	NAMDD002B	556604	8768595	1232	116.9	DD	-49.9	46.7	-	NSA
NAM	NAMDD003	556673	8768543	1235	108.8	DD	-50	45	-	NSA
NAM	NAMDD004	556719	8768432	1236	109	DD	-54.9	45.8	-	NSA
NAM	NAMDD005	556655	8768532	1235	160	DD	-59.5	41.8	-	NSA
NAM	NAMDD007	556837	8768275	1237	149.9	DD	-55.6	44.4	-	NSA
NAM	NAMDD009	556773	8768343	1236	140.3	DD	-50	42.7	-	NSA
NAM	NAMDD013	556923	8768231	1239	134.2	DD	-48.9	43.1	-	NSA
NAM	NAMDD014	557009	8768169	1240	155.4	DD	-55.5	44.1	-	NSA
NAM	NAMDD015	557127	8768151	1245	142	DD	-55.3	41.8	-	NSA
NAM	NAMDD019	557196	8768064	1250	107.3	DD	-54.5	49.2	-	NSA
NAM	NAMDD023B	556527	8768673	1229	151.6	DD	-55.1	44.2	-	NSA
DZ	NAMDD024	555891	8767877	1231	95.3	DD	-49.8	73.5	-	NSA
NAM	NAMDD027	556942	8768391	1250	120.9	DD	-55	224.2	-	NSA
NAM	NAMDD030	556588	8768650	1233	125.4	DD	-44	41.8	-	NSA
NAM	NAMDD032	556715	8768494	1237	130.1	DD	-53.2	43.6	-	NSA
NAM	NAMDD040	556983	8768208	1240	110.4	DD	-55.2	45.7	-	NSA
NAM	NAMDD045	557278	8768047	1260	89.1	DD	-55.3	130	-	NSA
NAM	NAMDD046	557231	8768084	1252	99.9	DD	-55.4	132.9	-	NSA
NAM	NAMDD055	557075	8768096	1242	121	DD	-75.6	38.5	-	NSA
NAM	NAMDD056	557160	8767607	1251	96.5	DD	-50.3	245.1	-	NSA
NAM	NAMDD057	557274	8767656	1253	158.6	DD	-50.7	248.3	-	NSA
NAM	NAMDD058	557069	8768674	1237	162.6	DD	-51.6	59.8	-	NSA
NAM	NAMDD059	557026	8768648	1237	100	DD	-51.4	60.4	-	NSA
DZ	NAMDD062	555887	8768126	1224	188.95	DD	-49.7	109.6	-	NSA
DZ	NAMDD066	555929	8768201	1223	151.9	DD	-50.1	109.6	-	NSA
DZ	NAMDD067	556083	8768256	1218	154.5	DD	-50.1	289.6	-	NSA
DZ	NAMDD069	556674	8768417	1233	205.5	DD	-50	188.7	-	NSA
DZ	NAMDD071	555872	8767767	1232	257.5	DD	-55	72.1	-	NSA
DZ	NAMDD072	556672	8768355	1233	137	DD	-50	188.7	-	NSA
DZ	NAMDD073	556369	8768470	1223	208.5	DD	-50	177.7	-	NSA
DZ	NAMDD078	556169	8768432	1217	178.9	DD	-50	180	-	NSA
DZ	NAMDD080	556452	8768260	1225	188.5	DD	-50.4	13.1	-	NSA
DZ	NAMDD081	556371	8768364	1224	98.5	DD	-60	180	-	NSA

Prospect	Hole ID	E	N	RL	EOH	Type	Dip	Azimuth	Depth From	Cu Intercept
DZ	NAMDD082	556248	8768365	1221	164.1	DD	-50	330	-	NSA
DZ	NAMDD085	556317	8768392	1223	69.8	DD	-52	350	-	NSA
DZ	NAMDD086	556222	8768412	1219	180.3	DD	-50	150	-	NSA
DZ	NAMDD088	556092	8768356	1216	118	DD	-50	150	-	NSA
DZ	NAMDD089	555977	8768182	1222	99.9	DD	-50	112	-	NSA
DZ	NAMRC001	555879	8767767	1232	80	RC	-55	72.7	-	NSA
DZ	NAMRC003	555959	8767789	1232	135	RC	-55	72.7	-	NSA
DZ	NAMRC004	555875	8767712	1232	126	RC	-55	72.7	-	NSA
DZ	NAMRC006	555948	8767737	1232	138	RC	-45	72.7	-	NSA
DZ	NAMRC007	555988	8767747	1231	130	RC	-45	72.7	-	NSA
DZ	NAMRC008	555938	8767938	1228	140	RC	-45	72.7	-	NSA
DZ	NAMRC011	555923	8767990	1227	118	RC	-55	72.7	-	NSA